

ETT  
INTERAKTIVT PROGRAMPAKET FÖR SIMULERING  
AV  
SJÄLVINSTÄLLANDE REGULATORER

BENGT CT BENGTTSSON  
BO EGARDT

RE-141 augusti 1974  
Inst.för Reglerteknik  
Lunds Tekniska Högskola

ETT INTERAKTIVT PROGRAMPAKET

FÖR SIMULERING AV SJÄLVINSTÄLLANDE REGULATORER

Examensarbete utfört våren 1974 vid  
Institutionen för Reglerteknik, LTH

Bengt CT Bengtsson

Bo Egardt

Handledare: Staffan Selander  
Torsten Söderström  
Björn Wittenmark

## SAMMANFATTNING

Denna rapport utgör dokumentation av resultat och erfarenheter som nåtts under ett examensarbete våren 1974.

Iförsta hand redovisas konstruktionen av ett interaktivt programpaket för simulering av vissa typer av adaptiva regulatorer, s.k. självinställande regulatorer. I enlighet med erfarenheterna vid institutionen är paketet kommandostyrt.

I rapporten ingår också en del, som presenterar några regulatoralgoritmer samt resultat av simuleringar med dessa. Bl.a. studeras en regulatortyp med en rekursiv maximum-likelihood-identifiering.

## ABSTRACT

This MS thesis report provides documentation of results and experience obtained during the spring 1974.

The main purpose is to show the construction of an interactive program package, which is used for simulations of some special types of adaptive controllers, called self tuning regulators. According to the experience at the division, the program package is command driven.

A part of the report presents some regulator algorithms and the results obtained by simulating these. For example, one type of regulator with a recursive maximum-likelihood-identification is considered.

## INNEHÅLLSFÖRTECKNING

I.	INLEDNING	1
II.	REGULATORERNA	2
	1. STURE1	2
	2. STURE2	4
	3. STUREM	6
III.	PROGRAMPAKETET	10
	1. Inledning	10
	2. Paketet ur operatörens synvinkel	13
	3. Programstruktur	21
IV.	SIMULERINGAR	25
	1. Inledning	25
	2. Exempel 1	27
	3. Exempel 2	34
	4. Exempel 3	44
	5. Exempel 4	54
	6. Sammanfattning	63
V.	SLUTORD	64
VI.	REFERENSER	65
	APPENDICES	66
	A1. Exempel på utskrifter	67
	A2. Listning av programhuvuden	70

## I. INLEDNING

Examensarbetet har inriktats på konstruktionen av ett interaktivt programpaket för simulering av s.k. självinställande regulatorer. Programpaketet, som kallas STURE (av Self Tuning Regulators), har gjorts kommandostyrt med tanke på de goda erfarenheterna från bl.a. institutionens identifieringspaket IDPAC.

I programpaketet återfinns bl.a. en ny regulator, kallad STUREM, vilken använder en rekursiv maximum-likelihood-identifiering. För att undersöka egenskaperna för denna regulator redovisas även resultat av simuleringar i rapporten.

I kap II ges först en kortfattad presentation av de regulatorer, som finns implementerade i programpaketet. Programpaketets möjligheter och uppbyggnad visas i kap III och i kap IV jämförs de olika regulatorerna vid simulering på några olika system. Kap V och VI innehåller slutord resp referenser och slutligen ges två appendices, innehållande exempel på programpaketets resultatutskrifter resp listning av programhuvuden.

## II. REGULATORERNA

I detta kapitel presenteras kortfattat de tre regulatoralgoritmer, som använts i de jämförande simuleringarna. Det bör kanske påpekas, att regulatorerna genomgående bär namnet STURE, som står för Self Tuning Regulator. Sålunda visas i avsnitt 1 och 2 principerna för de tidigare använda algoritmerna STURE1 resp STURE2, och i avsnitt 3 sammanfattas den nya regulatorn STUREM.

För närmare detaljer hänvisas till litteraturen enl referenslistan.

### 1. Regulatorn STURE1

Utgå från systemet

$$A^*(q^{-1})y(t) = q^{-(k+1)}B^*(q^{-1})u(t) + \lambda C^*(q^{-1})e(t) \quad (2.1.1)$$

$$\text{där } A^*(q^{-1}) = 1 + a_1q^{-1} + \dots + a_nq^{-n}$$

$$B^*(q^{-1}) = b_1 + b_2q^{-1} + \dots + b_nq^{-(n-1)}$$

$$C^*(q^{-1}) = 1 + c_1q^{-1} + \dots + c_nq^{-n} \quad ,$$

$k$  är systemets tidsfördröjning och  $e(t)$  är  $N(0,1)$  - fördelat vitt brus. Problemet att identifiera parametrarna i modellen (2.1.1) underlättas väsentligt, om vi antar att  $c_i=0$  för varje  $i$ . Genom att utnyttja polynomidentiteten

$$1 = A^*(q^{-1})F^*(q^{-1}) + q^{-(k+1)}G^*(q^{-1}) \quad (2.1.2)$$

$$\text{där } F^*(q^{-1}) = 1 + f_1q^{-1} + \dots + f_kq^{-k}$$

$$G^*(q^{-1}) = g_0 + g_1q^{-1} + \dots + g_{n-1}q^{-(n-1)}$$

kan då (2.1.1) skrivas på formen:

$$\begin{aligned}
 y(t+k+1) + \alpha_1 y(t) + \dots + \alpha_n y(t-n+1) &= \\
 &= \beta_0 (u(t) + \beta_1 u(t-1) + \dots + \beta_{n+k-1} u(t-n-k+1)) + \varepsilon(t+k+1) \quad (2.1.3)
 \end{aligned}$$

där  $\varepsilon(t+k+1)$  är en linjärkombination av  $e(t+k+1), \dots, e(t+1)$ .

Minimalvariansstrategin är

$$\begin{aligned}
 u(t) = \frac{1}{\beta_0} (\alpha_1 + \alpha_2 q^{-1} + \dots + \alpha_n q^{-(n-1)}) y(t) - \\
 - (\beta_1 q^{-1} + \dots + \beta_{n+k-1} q^{-(n+k-1)}) u(t) \quad (2.1.4)
 \end{aligned}$$

Den självinställande regulatorns uppgifter är alltså: identifiera parametrarna i (2.1.3) med minsta-kvadratmetoden och styr sedan systemet enl (2.1.4). I allmänhet kan man inte entydigt identifiera samtliga parametrar i (2.1.3) när man applicerar styrlagen (2.1.4) - de parametervärden som erhålles utgör en lineärmångfald. För att undvika drivande parametervärden väljes därför parametern  $\beta_0$  i (2.1.3) fix i STURE1.

STURE1 konvergerar ofta mot en regulator, som ger minimal varians, även om C-polynomet inte är identiskt 1. Om systemet är icke-min-fas, så är det slutna systemet instabilt. Genom att använda olika trick, t.ex. att ge ett större värde på k än vad det verkliga systemet har, kan man utöka klassen av system, där regulatorn fungerar tillfredsställande.

Styrlagen (2.1.4) använder  $y(t)$  för beräkning av  $u(t)$ . Om detta inte är möjligt, utan  $y(t-1)$  är det senaste kända värdet när  $u(t)$  skall beräknas, modifieras modellen i regulatorn så att den får ett k-värde, som är 1 enhet större än systemets verkliga värde. Regulatorn kan då sägas uppfatta situationen så, att den styr ett system med en enhets större fördröjning men utan fördröjning av styrsignalen.

## 2. Regulatorn STURE2

Istället för att estimeras parametrarna i regulatorn, vilket görs i STURE1, kan man i varje steg identifiera parametrarna i systemet

$$A^*(q^{-1})y(t) = q^{-(k+1)}B^*(q^{-1})u(t) + e(t) \quad (2.2.1)$$

med minsta-kvadratmetoden. Därefter löses identiteten (2.1.2) vilket ger en optimal styrlag

$$u(t) = - \frac{G^*(q^{-1})}{B^*(q^{-1})F^*(q^{-1})} y(t) \quad (2.2.2)$$

Om denna regulator konvergerar, så konvergerar den mot den optimala regulatorn. Om däremot det faktiska C-polynomet är skilt från 1, konvergerar inte alltid regulatorn.

Man kan visa, att ovanstående styrlag ger ett instabilt slutet system, om systemet är icke-minimum-fas och de estimerade parametrarna skiljer sig det minsta från de verkliga. För att erhålla ett stabilt slutet system kan (2.1.2) ersättas med identiteten

$$B^-(q^{-1})C^*(q^{-1}) = A^*(q^{-1})F^*(q^{-1}) + q^{-(k+1)}G^*(q^{-1})B^{-*}(q^{-1}) \quad (2.2.3)$$

där alltså  $C^*(q^{-1}) = 1$ . Polynomen  $B^-$  och  $B^{-*}$  fås ur uppdelningen

$$B(q) = q^{n-1}B^*(q^{-1}) = B^-(q)B^+(q)$$

där  $B^-(q)$  har nollställena utanför enhetscirkeln och  $B^+(q)$  innanför. Om  $B^-$  är av grad  $r$  och  $B^+$  av grad  $n-r-1$  så är  $F^*$  av grad  $k+r$ ,  $G^*$  av grad  $n-1$  och slutligen gäller:

$$B^{-*}(q^{-1}) = q^{-r}B^-(q).$$



Den optimala styrlagen ges nu av:

$$u(t) = - \frac{G^*(q^{-1})}{B^*(q^{-1})F^*(q^{-1})} y(t) \quad (2.2.4)$$

Styrslagarna (2.2.2) resp (2.2.4) kan emellertid också beräknas på ett annat sätt. Problemet är: minimera variansen under villkoret att det slutna systemet skall vara stabilt. Detta kan lösas genom att formulera ett s.k. linjärkvadratisk styrproblem, som leder till en Riccati-ekvation. Denna ansats görs i STURE2-algoritmen. Styrlagen blir densamma som när man använder identiteterna ovan.

För beräkningarna används en tillståndsmodell med följande tillståndsvariabler:

$$\begin{aligned} x_1(t) &= y(t) \\ x_2(t) &= -a_2 y(t-1) - \dots - a_n y(t-n+1) + b_1 u(t-k) + \dots + b_n u(t-n-k+1) \\ &\dots \\ x_k(t) &= -a_k y(t-1) - \dots - a_n y(t-n+k-1) + b_1 u(t-2) + \dots + b_n u(t-n-1) \\ x_{k+1}(t) &= -a_{k+1} y(t-1) - \dots - a_n y(t-n+k) + b_1 u(t-1) + \dots + b_n u(t-n) \\ &\dots \\ x_n(t) &= -a_n y(t-1) + b_{n-k} u(t-1) + \dots + b_n u(t-k-1) \\ x_{n+1}(t) &= b_{n-k+1} u(t-1) + \dots + b_n u(t-k) \\ &\dots \\ x_{n+k}(t) &= b_n u(t-1) \end{aligned}$$

Detta ger systemekvationen på tillståndsform:

$$x(t+1) = \begin{matrix} \begin{pmatrix} -a_1 & 1 & & & & \\ -a_2 & & 1 & & & \\ \cdot & & & \cdot & & \\ \cdot & & & & \cdot & \\ -a_n & & & & & \cdot \\ 0 & & & & & 1 \\ \cdot & & & & & \\ 0 & & & & & 1 \end{pmatrix} & x(t) + & \begin{pmatrix} 0 \\ \cdot \\ 0 \\ b_1 \\ b_2 \\ \cdot \\ \cdot \\ b_n \end{pmatrix} u(t) + & \begin{pmatrix} 1 \\ 0 \\ 0 \\ \cdot \\ \cdot \\ \cdot \\ 0 \end{pmatrix} e(t) \end{matrix}$$

$$\text{dvs } x(t+1) = \phi x(t) + Fu(t) + Ke(t) \quad (2.2.5)$$

$$\text{Lösningen av Riccati-ekvationen ger styrlagen } u(t) = -L\hat{x}(t) \quad (2.2.6)$$

$$\text{där } L = \Gamma^T S \phi \{Q_2 + \Gamma^T S \Gamma\}^{-1} \quad (2.2.7)$$

$$S = \phi^T S \{\phi - \Gamma L\} + Q_1 \quad (2.2.8)$$

Denna styrlag ger  $\min E\{\Sigma(x^T Q_1 x + u^T Q_2 u)\}$ ,

dvs vi får  $\min E\{\Sigma y^2\}$  om  $Q_1 = \text{diag}(1 \ 0 \ \dots \ 0)$  och  $Q_2 = 0$ .

Vid simuleringarna har för jämförelsens skull alla regulatorer använts med fördröjning, dvs när  $u(t)$  skall beräknas har vi inte tillgång till  $y(t)$ . För STURE2 innebär detta, att styrlagen (2.2.6) ersätts med:

$$u(t) = -L\hat{x}(t|t-1) \quad (2.2.9)$$

där  $\hat{x}(t|t-1)$  är tillståndsvektorn vid tidpunkten  $t$ , predikterad ett steg framåt.

### 3. Regulatorn STUREM

Med STURE2-algoritmen kan regulatorn konvergera mot en icke-optimal regulator om  $C$ -polynomet inte är identiskt 1. Detta beror på att minsta-kvadrat-metoden inte estimerar  $c$ -parametrarna. För att göra detta används i STUREM en annan identifieringsmetod - en rekursiv, approximativ maximum-likelihood-identifiering. Tillståndsmodellen, som används i STURE2, måste nu modifieras och innehålla även  $c$ -parametrarna.

Systemet vi betraktar är:

$$\begin{aligned} (1 + a_1 q^{-1} + \dots + a_n q^{-n})y(t) = q^{-(k+1)}(b_1 + b_2 q^{-1} + \dots + b_n q^{-(n-1)})u(t) + \\ + (1 + c_1 q^{-1} + \dots + c_n q^{-n})e(t) \end{aligned} \quad (2.3.1)$$

Inför nu följande tillståndsvariabler:

$$x_1(t) = y(t) - e(t)$$

$$x_2(t) = -a_2 y(t-1) - \dots - a_n y(t-n+1) + b_1 u(t-k) + \dots + b_n u(t-n+k+1) + c_2 e(t-1) + \dots + c_n e(t-n+1)$$

...

$$x_k(t) = -a_k y(t-1) - \dots - a_n y(t-n+k-1) + b_1 u(t-2) + \dots + b_n u(t-n-1) + c_n e(t-1) + \dots + c_n e(t-n+k-1)$$

$$x_{k+1}(t) = -a_{k+1} y(t-1) - \dots - a_n y(t-n+k) + b_1 u(t-1) + \dots + b_n u(t-n) + c_{k+1} e(t-1) + \dots + c_n e(t-n+k)$$

...

$$x_n(t) = -a_n y(t-1) + b_{n-k} u(t-1) + \dots + b_n u(t-k-1) + c_n e(t-1)$$

$$x_{n+1}(t) = b_{n-k+1} u(t-1) + \dots + b_n u(t-k)$$

...

$$x_{n+k}(t) = b_n u(t-1)$$

Systemet kan då skrivas på standardformen:

$$x(t+1) = \begin{pmatrix} -a_1 & 1 & & & & & \\ -a_2 & & 1 & & & & 0 \\ \cdot & & & \cdot & & & \\ \cdot & & & & \cdot & & \\ -a_n & & & & & \cdot & \\ 0 & & 0 & & & & 1 \\ \cdot & & & & & & \cdot \\ 0 & & & & & & 0 \end{pmatrix} x(t) + \begin{pmatrix} 0 \\ \cdot \\ 0 \\ b_1 \\ b_2 \\ \cdot \\ \cdot \\ b_n \end{pmatrix} u(t) + \begin{pmatrix} c_1 - a_1 \\ c_2 - a_2 \\ \cdot \\ \cdot \\ c_n - a_n \\ 0 \\ \cdot \\ 0 \end{pmatrix} e(t)$$

k st (under the first matrix), k st (under the second matrix), k st (under the third matrix)

$$y(t) = (1 \ 0 \ \dots \ 0)x(t) + e(t)$$

$$\text{dvs: } \begin{cases} x(t+1) = \Phi x(t) + \Gamma u(t) + K e(t) \\ y(t) = C x(t) + e(t) \end{cases} \quad (2.3.2)$$

STUREM har endast realiserats med en tidsfördröjning i regulatorn. Styrlagen får då, som nämndes i avsnitt 2, utseendet:

$$u(t) = -L\hat{x}(t|t-1)$$

Den predikterade tillståndsvektorn  $\hat{x}(t|t-1)$  kan erhållas med vanlig Kalmanfiltrering:

$$\hat{x}(t+1|t) = \hat{\Phi}\hat{x}(t|t-1) + \hat{\Gamma}u(t) + \hat{K}(y(t) - \hat{C}\hat{x}(t|t-1)) \quad (2.3.3)$$

Emellertid ger identifieringsalgoritmen residualen som delresultat och (2.3.3) kan ersättas med:

$$\hat{x}(t+1|t) = \hat{\Phi}\hat{x}(t|t-1) + \hat{\Gamma}u(t) + \hat{K}\hat{e}(t) \quad (2.3.4)$$

Denna prediktering har nackdelen att  $\hat{x}(t|t-1)$  beror på gamla parameterskattningar, och därför skrives (2.3.4) om till den slutliga versionen: (se nästa sida)

$$\begin{aligned}
\hat{x}(t+1|t) = & \begin{pmatrix} -\hat{a}_1 & \cdot & \cdot & \cdot & -\hat{a}_n & 0 & \cdot & 0 \\ -\hat{a}_2 & & & & & & & \\ \cdot & \cdot & & & & & & \\ \cdot & & & & & & & \\ -\hat{a}_n & & & & & & & \\ 0 & & & & \mathbf{0} & & & \\ \cdot & & & & & & & \\ 0 & & & & & & & \end{pmatrix} \begin{pmatrix} y(t) \\ y(t-1) \\ \cdot \\ \cdot \\ y(t-n+1) \\ 0 \\ \cdot \\ 0 \end{pmatrix} + \\
& + \begin{pmatrix} \mathbf{0} & \cdot & \cdot & \cdot & \hat{b}_1 & \cdot & \cdot & \cdot & \hat{b}_n \\ \cdot & & & & & & & & \\ \hat{b}_1 & \cdot & \cdot & \cdot & \cdot & & & & \\ \hat{b}_2 & \cdot & \cdot & \cdot & \hat{b}_n & & & & \\ \cdot & \cdot & & & & & & & \\ \cdot & & & & \mathbf{0} & & & & \\ \hat{b}_n & & & & & & & & \end{pmatrix} \begin{pmatrix} u(t) \\ \cdot \\ \cdot \\ u(t-k) \\ \cdot \\ \cdot \\ \cdot \\ u(t-n-k+1) \end{pmatrix} + \\
& + \begin{pmatrix} \hat{c}_1 & \cdot & \cdot & \cdot & \hat{c}_n & 0 & \cdot & 0 \\ \hat{c}_2 & & & & & & & \\ \cdot & \cdot & & & & & & \\ \cdot & & & & & & & \\ \hat{c}_n & & & & & & & \\ 0 & & & & \mathbf{0} & & & \\ \cdot & & & & & & & \\ 0 & & & & & & & \end{pmatrix} \begin{pmatrix} \hat{e}(t) \\ \hat{e}(t-1) \\ \cdot \\ \cdot \\ \hat{e}(t-n+1) \\ 0 \\ \cdot \\ 0 \end{pmatrix}
\end{aligned}$$

(2.3.5)

### III. PROGRAMPAKETET

I detta kapitel presenteras kortfattat programpaketet STURE med avseende på programvaran. I avsnitt 1 ges en inledande översikt av paketet och dess kommandon. Avsnitt 2 behandlar paketet så som operatören ser det, medan avsnitt 3 behandlar programmens struktur.

#### 1. Inledning

STURE är ett interaktivt programpaket för simulering av självinställande regulatorer, skrivet för institutionens processdator PDP 15. Paketet är huvudsakligen kommandostyrt. Bl.a. STURE:s förebild - institutionens identifieringspaket IDPAC (se {6},{7}) - har visat, att detta är mycket värdefullt, då det ger operatören mycket stor handlingsfrihet. Ett program styrt enligt principen frågor-och-svar har dock fördelen, att man inte kan glömma någonting. Vidare blir skrivarbetet minimalt, då inget kommando behöver anges. STURE har därför vissa inslag av frågor-och-svar samt ett kommando som lotsar operatören igenom alla kommandon, som är nödvändiga för att tilldela alla parametrar ett värde.

Paketet användes för att simulera verkan av STURE1, STURE2 och STUREM (se kap II) på linjära system störda av tidsinvariant brus. STURE1 och STURE2 kan köras med eller utan fördröjd styrsignal. Resultatet kan redovisas på radskrivare eller bildskärm. Vidare kan parametrar ändras under pågående simulering, kommentarer skrivs ut på valfritt medium och parametervärden listas på bildskärmen.

På följande sidor finns en lista över möjliga kommandon. Denna lista utgör en fil, INFO, och kan alltså lätt skrivas ut. Det framgår av listan att värdena på vissa parametrar kan ändras genom direkta kommandon. Dessa parametrars namn förklaras också i listan.

## STURE - COMMAND STRUCTURE

\*\*\*\*\*

GUIDE           AUTOMATICALLY MAKES THE COMMANDS SYST,REG,NOISE,YREF,INIT

-----  
 SYST           ASKS FOR THE SYSTEM PARAMETERS

-----  
 REG            ASKS FOR THE REGULATOR PARAMETERS

-----  
 NOISE          ASKS FOR THE NOISE PARAMETERS

-----  
 YREF          ASKS FOR THE REFERENCE PARAMETERS

-----  
 INIT          ASKS FOR INITIAL VALUES OF THE PARAMETER ESTIMATES

-----  
 SAVE VNAME1 [VNR11,..] [VNAME2 [VNR21,..]..]

-----  
 THE VARIABLES VNAME1(VNR11).. WILL BE SAVED ON THE  
 DISK IN THE FOLLOWING SIMULATIONS

VARIABLES:

  A[ALPHA] 1    -   A[ALPHA] 6  
  B[ETA] 1      -   B[ETA] 6  
  C 1           -   C 6 ('GAMMA'='C')  
  LOSS  
  Y  
  U  
  YSUM  
  YREF  
  RYY 1         -   RYY 10  
  RYU 0         -   RYU 10  
  P 1 1         -   P 18 18 (P IS THE COVARIANCE MATRIX)

NB.    MAXIMUM NUMBER OF SAVED VARIABLES:15

DISP           DISPLAYS THE PARAMETER VALUES

-----  
 SIMU N         STARTS A NEW SIMULATION WITH N SAMPLE POINTS  
 -----  
 THE SIMULATION IS STOPPED WHEN DATA SWITCH 0 IS SET

CONT N         CONTINUES THE SIMULATION FOR N SAMPLE POINTS  
 -----  
 CONT IS NOT ALLOWED AFTER A NEW SAVE-COMMAND  
 OR WHEN THE TYPE OF REGULATOR OR NA,NB,NC HAS BEEN CHANGED

RCALL          ELIMINATES THE EFFECTS OF SAVE-COMMANDS,CHANGES OF  
 -----  
 REGULATOR TYPE OR NA,NB,NC FOLLOWING THE LAST SIMULATION.  
 CONT IS ALLOWED AFTER RCALL

[A]PLOT [VNAME1 [VNR11,..]..] [SC YMIN1 YMAX1]

-----  
 PLOTS THE VARIABLES VNAME1(VNR11)..

IF NO VARIABLE NAMES ARE TYPED ALL SAVED VARIABLES  
 WILL BE PLOTTED

SCALES:   APLOT                    AUTOMATIC SCALING  
          PLOT ... SC YMIN1 YMAX1   YMIN1 MINIMUM VALUE  
                                      YMAX1 MAXIMUM VALUE  
          PLOT ...                   MINIMUM AND MAXIMUM VALUES  
                                      ARE GIVEN BY THE VARIABLES  
                                      YMIN AND YMAX RESP (BELOW)  
                                      YMIN=YMAX GIVES  
                                      AUTOMATIC SCALING

PRINT N1 N2 PRINTS INFORMATION ABOUT THE PRESENT SIMULATION  
 ----- FOLLOWED BY THE VALUES OF THE SAVED VARIABLES IN  
 THE FIRST N1 POINTS AND THEN IN EVERY N2:TH POINT.  
 IF CONT COMMANDS HAVE BEEN USED CHANGED PARAMETERS  
 ARE PRINTED AND THE FIRST N1 POINTS OF THE CONTINUED  
 SIMULATION ARE PRINTED FOLLOWED BY EVERY N2:TH POINT ETC

TEXT DEV ('FF')  
 -----

THE FOLLOWING LINES TYPED ON THE TELETYPE  
 ARE PRINTED ON MEDIUM DEV ('LP','TV' OR 'TT')  
 [AFTER FORM FEED]. THE TRANSFER OF LINES  
 IS STOPPED WHEN THE LINE TERMINATOR IS ALT MODE

STOP EXECUTION OF THE PROGRAM PACKAGE IS TERMINATED  
 -----

CHANGE OF A SINGLE PARAMETER VALUE:

KSYS N	TIME DELAY OF THE SYSTEM [0,10]
-----	
NA N	NUMBER OF A PARAMETERS IN THE REGULATOR MODEL [0,6]
-----	
NB N	NUMBER OF B PARAMETERS IN THE REGULATOR MODEL [0,6]
-----	
NC N	NUMBER OF C PARAMETERS IN THE REGULATOR MODEL [0,6]
-----	
KREG N	TIME DELAY OF THE REGULATOR MODEL [0,10]
-----	
KDEL N	DELAY OF THE REGULATOR SIGNAL [0,1]
-----	
RL R	EXPONENTIAL WEIGHTING FACTOR [0,1]
-----	
B0 R	PARAMETER BETA0 IN STURE1 .NE.0
-----	
P0 R	INITIAL VALUE OF THE COVARIANCE MATRIX IS P0*I >=0
-----	
ULIM R	LIMIT ON THE CONTROL SIGNAL. ULIM < 0: NO LIMIT
-----	
R0 R	RADIUS OF THE POLE-ENCLOSING CIRCLE [0,1]
-----	
Q2 R	PENALTY ON THE CONTROL SIGNAL >=0
-----	
ITER N	MAXIMUM NUMBER OF RICCATI ITERATIONS >=1
-----	
RLIM R	LIMIT ON THE ESTIMATED RESIDUALS (STUREM) >=0
-----	
RLEXP R	TIME DEPENDENCE OF RL (STUREM) [0,1]
-----	
YMIN R	MINIMUM VALUE OF THE Y SCALE
-----	
YMAX R	MAXIMUM VALUE OF THE Y SCALE
-----	



## 2. Paketet ur operatörens synvinkel

Operatören har flera olika kommandon till sitt förfogande. I föregående avsnitt gavs en lista med kortfattade beskrivningar av kommandona. Nedan beskrivs varje kommando något mer detaljerat.

### Inhämtningskommandon

(i anslutning till varje kommando ges en kopia på de frågor, som efterhand kommer upp på bildskärmen)

GUIDE går automatiskt igenom kommandona SYST, REG, NOISE, YREF och INIT.

SYST frågar efter systemets parametrar:

```

S Y S T
*****

```

**NORD (ORDER OF SYSTEM)**

**KSYS (TIME DELAY OF SYSTEM)**

**APOLYNOMIAL ( 3 NUMBERS! )**

**BPOLYNOMIAL ( 3 NUMBERS! )**

**CPOLYNOMIAL ( 3 NUMBERS! )**

NORD (systemets ordning) får vara högst 5.

De tre polynomen innehåller koefficienterna  $a_i$ ,  $b_i$  och  $c_i$  i modellen (2.1.1).

REG frågar efter regulator typ och för denna regulator relevanta parametrar. För STURE1 är frågorna följande:

R E C  
\*\*\*\*\*

TYPE OF REGULATOR    0:NONE (U=0)  
                          1:STURE1  
                          2:STURE2  
                          3:STUREM

KREG (TIME DELAY OF MODEL)

KDEL (DELAY OF REGULATOR SIGNAL)

NA NB (NUMBER OF ALPHA AND BETA PARAMETERS)

B0 (PARAMETER BETA0)

ULIM (LIMIT ON THE CONTROL SIGNAL)  
  <0: NO LIMIT  
  >0: LIMIT

RL (EXPONENTIAL WEIGHTING FACTOR)

P0 (INITIAL VALUE OF THE COVARIANCE MATRIX IS P0#1)

Frågorna för STURE2 och STUREM är nästan desamma, så endast de för STUREM visas. För STURE2 blir det följande skillnader: NC, RLEXP och RLIM utgår samt KDEL tillkommer.

**R E G**  
\*\*\*\*\*

TYPE OF REGULATOR    0: NONE (U=0)  
                          1: STURE1  
                          2: STURE2  
                          3: STUREM

KREC (TIME DELAY OF MODEL)

NA NB NC (NUMBER OF ALPHA, BETA AND GAMMA PARAMETERS)

R0 (RADIUS OF CIRCLE ENCLOSING ALL POLES)

Q2 (PENALTY ON CONTROL SIGNAL)

RLEXP (TIME DEPENDENCE OF RL)

RLIM (LIMIT ON THE RESIDUALS)

ULIM (LIMIT ON THE CONTROL SIGNAL)  
    <0: NO LIMIT  
    >0: LIMIT

RL (EXPONENTIAL WEIGHTING FACTOR)

P0 (INITIAL VALUE OF THE COVARIANCE MATRIX IS P0#1)

NOISE           frågar efter startvärdet till brusgeneratorn samt önskad standardavvikelse:

**N O I S E**  
\*\*\*\*\*

MAC0 (ODD INTEGER FOR MCNOD1)

DEVIA (STANDARD DEVIATION OF NOISE)

YREF frågar efter typ av referenssignal samt amplitud och period för denna:

Y R E F  
\*\*\*\*\*

REFERENCE: 1: CONSTANT  
2: SQUARE WAVE  
3: TRIANG WAVE  
4: SINUSOIDAL

AMPLITUDE

PERIOD (INTEGER)

INIT frågar efter initialvärden på parameterestimaten:

I N I T  
\*\*\*\*\*

ALPH0 (INITIAL VALUES OF ALPHA PARAMETERS) 2 NUMBERS!  
BETA0 (INITIAL VALUES OF BETA PARAMETERS) 3 NUMBERS!  
GAM0 (INITIAL VALUES OF GAMMA PARAMETERS) 2 NUMBERS!

För samtliga kommandon ovan gäller att om man besvarar en fråga med enbart Carriage Return antages tidigare värde gälla.

Sparande

SAVE Ex. SAVE A 1 2 LOSS Y U

Angivna variabler sparas på skivan i följande simuleringar. Högst 15 variabler får sparas. I kommandotabellen anges vilka variabler som kan sparas.

A, B och C är parameterestimaten.  
LOSS är förlustfunktionen  $\Sigma y^2$ .

Y, U, YSUM och YREF är utsignal, styrsignal, kumulerad utsignal samt referenssignal.

RYY N och RYU N är  $\Sigma y(t)y(t-N)$  resp  $\Sigma y(t)u(t-N)$ .

P A B är element (A,B) i kovariansmatrisen P.

Om mer än en variabel i ett fält skall sparas, räcker det att ange fältnamnet en gång. Ex. SAVE P 1 1 12 15 åstadkommer att P(1,1) och P(12,15) sparas.

Fortsättning av en påbörjad simulering (se nedan) är inte tillåtet om ett nytt SAVE-kommando gjorts (eller om regulatortyp, NA, NB eller NC ändrats). För att upphäva verkan av dessa ändringar finns kommandot

RCALL efter vilket fortsatt simulering med de tidigare värdena på ovan nämnda parametrar är tillåtet.

Simulering

SIMU Ex. SIMU 500. En simulering i angivet antal punkter utföres. Tidigare gjorda simuleringar går förlorade.

Om dataswitch 0 på operatörspanelen sättes eller om utsignalens absolutbelopp någon gång överstiger  $10^{70}$  avbryts simuleringen. Härvid räddas automatiskt erhållna resultat, så att förloppet kan studeras eller, om avbrottet berodde på switchen, simuleringen kan fortsättas.

CONT Ex. CONT 500. En tidigare påbörjad simulering fortsättes med slutvärdena från föregående simulering som startvärden. Bortsett från utskriftens typografi (se PRINT nedan) blir alltså resultatet detsamma av SIMU 1000 som av t.ex. SIMU 500 följt av CONT 500, såvida inga parametrar ändrats mellan

dessa kommandon. Bortsett från vad som nämdes i anslutning till RCALL ovan får alla parametrar ändras mellan SIMU och CONT. Efter SIMU får följa ett godtyckligt antal CONT. Beträffande avbrytning av en simulering, se SIMU.

### Plottning och utskrift

[A] PLOT    Ex.    APLOT A 1 B 1 2  
                      PLOT U Y SC -10 11.5  
                      PLOT LOSS

Angivna variabler presenteras grafiskt på bildskärmen. Alla sparade variabler kan plottas. Om inga variabler anges plottas samtliga sparade variabler. Reglerna för variabelnamnen är identiska med de som gäller för SAVE.

Skalor: APLOT ger automatisk skalning.

PLOT ... SC R1 R2 ger R1 och R2 som min- resp max-värde på abscissan.

PLOT ... använder som min- och maxvärden de speciella parametrarna YMIN och YMAX (se kommandotabellen).

Om dessa är lika fås automatisk skalning.

Variablerna plottas i den ordning som de ges i kommandot, utom U som plottas sist i histogramform. Förtydligande text kan skrivas in genom att i kommandot efter " skriva önskad kommentar. I nästa kapitel finns smakprov på plottningar.

PRINT        Ex. PRINT 10 25 ger utskrift av de 10 första punkterna och därefter var 25:e punkt. Samtliga sparade variabler skrivs ut. Om N1 och N2 (se kommandotabellen) inte båda är 0 skrivs den sista punkten alltid ut. N2=0 har samma effekt som ett oändligt stort N2. I appendix 1 ges exempel på utskrift från PRINT. Observera att ändrade parametrar skrivs ut efterhand samt att förloppet med N1 och N2 omstartas efter varje CONT.

Direkt åtkomliga parametrar

Genom kommandon av typ NA 3 kan 17 olika parametrar åsättas värden. (se kommandotabellen). Här intar ITER, YMIN och YMAX en särställning därigenom att de till skillnad från övriga parametrar inte finns med i SYST eller REG, utan kan ändras enbart med "direktkommando". Observera att ITER får värdet 10 om operatören inte anger något annat.

Övriga kommandon

DISP ger utskrift på bildskärmen av för tillfället intressanta parametrar. Exempel på utskrift framgår av nästa sida.

TEXT Kommando: TEXT DEV 'FF'  
Ger utskrift på angivet medium av följande rader skrivna på teletypen. DEV kan vara TT, TV eller LP beroende på om utskriften önskas på teletypen, bildskärmen eller radskrivaren. FF anger att utskriften skall börja på ny sida. Utskrift på teletypen sker endast under exekvering av en MACRO. Överföringen avslutas när ALT MODE påträffas.

STOP avslutar körningen.

Programpaketet är dessutom utrustat med faciliteter för generering och exekvering av "superkommandon", s.k. MACRO:s. Beskrivning av dessa återfinns i {6} och {7}.

SYSTEM AND REGULATOR PARAMETERS (STUREM)

NORD	3				
KSYS	0				
APOL	-1.7000	0.7000	0.0000		
BPOL	-1.0000	2.3000	-1.3000		
CPOL	0.0000	0.0000	0.0000		
KREG	0				
NA	2				
NB	3				
NC	2				
RO	1.0000				
OZ	0.0100				
ALPHA	-1.7000	0.7000			
BETA	-1.0000	2.3000	-1.3000		
GAIN	0.0000	0.0000			
ULIM	-1.0000	<NO LIMIT>			
PD	0.0000				
RL	0.5000				
RLXP	0.0100				
RLIN	10.0000				
ITER	10				

MISCELLANEOUS

YREF	TRIANG	WAVE	MAGC	19	YMIN	-3.0000
YAMPL	10.0000		DEVIA	1.0000	YMAX	3.0000
IYPER	200					

SAVED VARIABLES:

A 1	A 2	B 1	B 2	B 3	C 1	C 2	LOSS	U(T)
Y(T)	P 1.1	P 2.2						



### 3. Programstruktur

Paketet består huvudsakligen av följande program:

Huvudprogrammet:	MAIN
Program, som frågar efter parametervärden:	BEGIN, GUIDE, SYST, REG, NOISE, YREF och INIT
Program för plottning och utskrift:	PLOCOM, PLOT, ADPRI, PRINT, DISP och TEXT
Program för simulering:	SIMU, SYSTEM, CORI och INPOL
Regulatorerna:	STURE1, STURE2, STURE3 och STUREM. (STURE2 och STURE3 är samma regulator med resp utan fördröjning av styrsignalen)
Identifieringsalgoritmerna:	RTLSID och RTMLE
Program för kommandoavkodning o dyl:	INTRAC, MACHDL, RESEX, WBUFF, ARGIN, COMLIN, SETPAR och GETIN
Program för stränghantering o dyl:	CODE, DECODE, NUMER, GAC, PAC, GETCHA och PUTCHA.
Programmet för utskrift av felmeddelanden:	ERROR

Programmen har skrivits med avsikten att programhuvud och övriga kommentarer skall räcka för att förstå funktionen. Programhuvudena har listats i appendix 2.

Informationsflödet sker huvudsakligen över COMMON-block. Dessa är listade med vidare referenser i MAIN:s programhuvud.

Fig 3.3.1 ger en grov bild av vilka program som anropas vid de olika kommandona. Observera att flera andra program är aktiva vid många tillfällen. Det skulle inta vara möjligt att åstadkomma ett block-schema som var både fullständigt och läsbart.

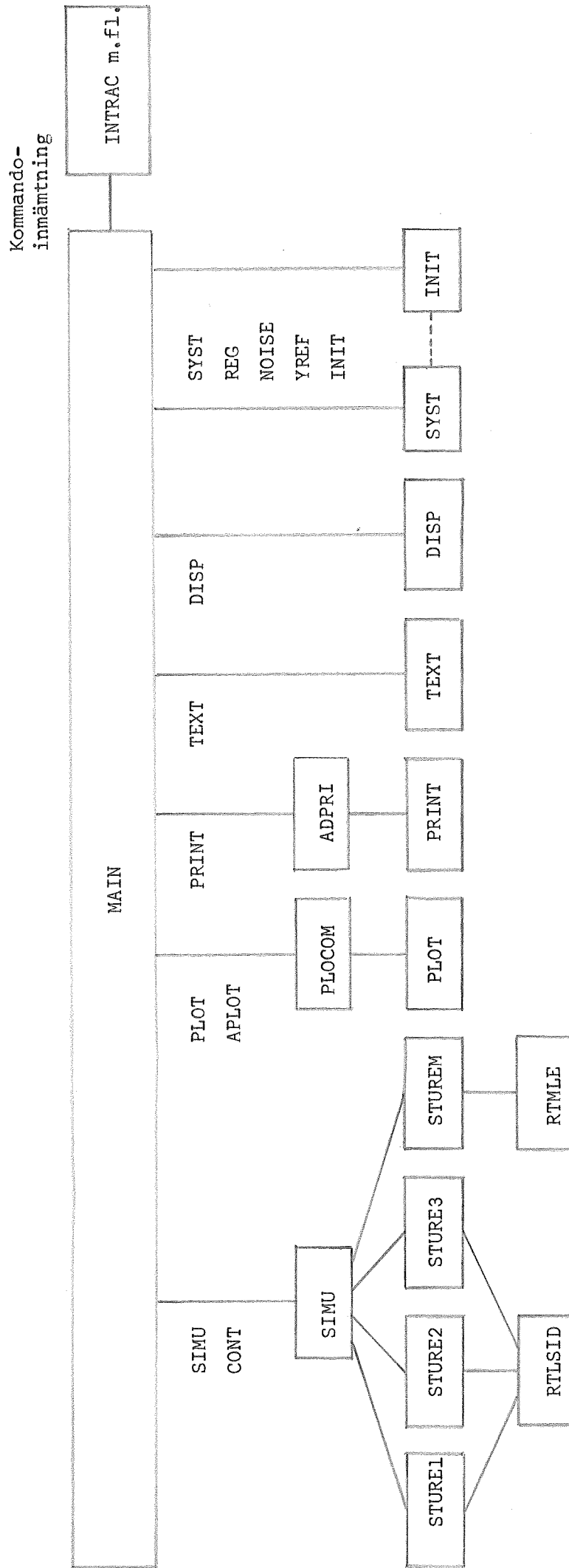


Fig 3.3.1 Programstruktur

I några situationer måste "tjuvknep" tillgripas. Fig 3.3.2 visar gången vid simulering.

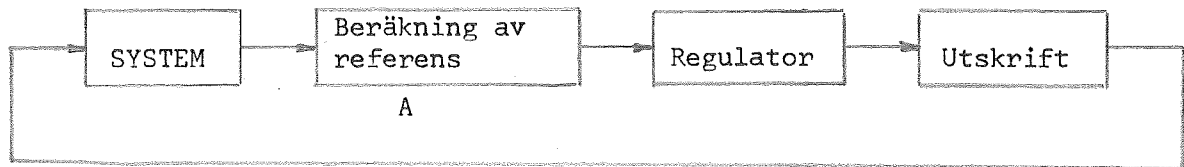


Fig 3.3.2

Programmet SYSTEM, som simulerar det verkliga systemet, är skrivet så, att  $y(t)$  beräknas för givet  $u(t)$ . Regulatorn STURE1 är vidare skriven för att ge en tidsfördröjning i regulatorn. För att beräkningen av referenssignalen skall stämma måste vid A i fig 3.3.2 vektorn Y ha  $y(t)$  som första element. Följande situationer uppstår nu:

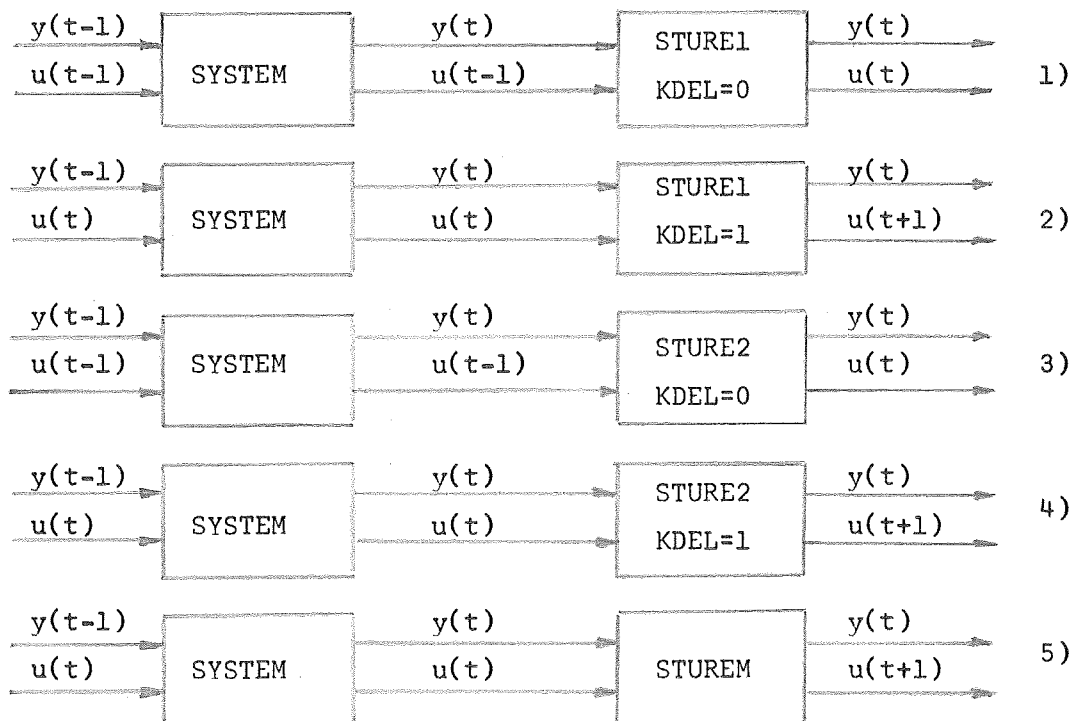


Fig 3.3.3

I fallen 2), 4) och 5) måste vid utskrift samt vid beräkning av RYU andra elementet i U-vektorn användas i stället för första.

I fallen 1) och 3) däremot består problemet i att indata till SYSTEM inte är i enlighet med vad som nämndes ovan. Genom att ge SYSTEM ett värde på systemets fördröjning som är ett mindre än den verkliga, får man önskat uppträdande. Eftersom vidare samma program används för STURE1 i fallen 1) och 2) måste i fall 1) även regulatorn få uppgift om en tidsfördröjning som är ett mindre än den verkliga. Samtliga dessa åtgärder görs automatiskt på programnivå.

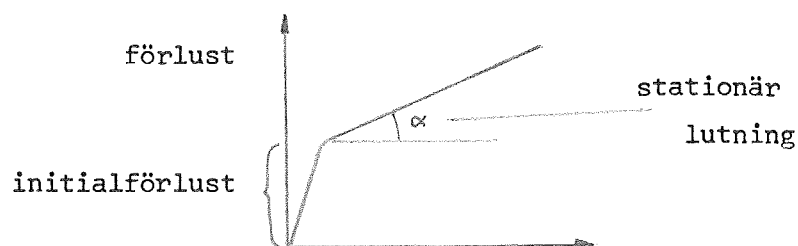
## IV. SIMULERINGAR

I detta kapitel redovisas de resultat som erhållits vid simulering av de tre regulatorerna applicerade på några olika system. Särskilt uppmärksammas naturligtvis egenskaperna för den nya regulatorn STUREM. I avsnitt 1 ges en inledande presentation av förutsättningar, beteckningar m.m.. För fyra olika system ges i avsnitt 2-5 teoretiska beräkningar, kommentarer om förväntat resultat och resultat från simulering. I avsnitt 6 ges slutligen en sammanfattning av gjorda erfarenheter.

### 1. Inledning

Trots att i programpaketet har implementerats både STURE1 och STURE2 också utan fördröjning i regulatorn, har samtliga simuleringar gjorts med fördröjning i regulatorn. Detta för att ge en "rättvis" jämförelse med STUREM, som endast finns med fördröjning.

Vid simuleringarna ägnas intresse framför allt åt två detaljer - parameterestimat och förlustfunktion. Den förlustfunktion, som presenteras av programmet är definierad som  $\Sigma y^2(s)$ , där  $y$  är utsignalen från systemet. I allmänhet har förlusten följande förlopp:



De intressanta värdena är här dels lutningen  $\alpha$ , som anger hur stor förlusten är per samplingsintervall i stationärt tillstånd, dels initialförlusten. Om inget annat anges, redovisas därför endast dessa två värden, och bara i undantagsfall visas förlustfunktionens tidsförlopp.

Vid simuleringarna har framkommit misstanken, att det iibruset, som genereras av en biblioteksrutin MCNODI, finns kovarianser, som är skilda från 0. Detta skulle kunna förklara, att simuleringarna ofta uppvisar en stationär medelförlust, som t.o.m. är något lägre än den teoretiskt optimala.

Några kommentarer skall också ges angående de parametervärden, som använts. Förklaring av samtliga använda parameternamn ges i kap III.

De parametrar, som framför allt kommer att varieras, är:

P0 - initialvärdet av kovariansmatrisen i identifieringen är  $P0 \cdot I$ , där

$I$  är enhetsmatrisen

ULIM - begränsning av styrsignalen

Dessa ändringar kommer att anges i varje fall, medan däremot följande parametrar är oförändrade genom nästan alla simuleringarna:

DEVIA = 1

MACO = 19

B0 = 1 (STURE1)

KDEL = 1 (fördröjning i regulatorn - se ovan)

R0 = 1 (STURE2, STUREM)

Q2 = 0 (se avsnitt II.2)

RL = 0,99

RLEXP = 0,01 (STUREM)

RLIM = 10 (STUREM)

ITER = 10 (STURE2, STUREM)

Avviker värdena i någon simulering från ovanstående, påpekas detta särskilt.

För de flesta exemplen har simuleringarnas längd varit 1000 punkter, vilket i allmänhet ger en god bild av uppförandet för regulatorn. I speciella fall har dock längre simuleringar gjorts.

I de följande avsnitten presenteras de tre regulatorernas inverkan på fyra olika system. I varje avsnitt visas först hur min-variansregulatorn ser ut för systemet, därefter resultat av reglering med resp STURE-algoritm och slutligen ges en sammanställning av resultaten.

## 2. Exempel 1

Vi inleder med att betrakta systemet

$$(1 + aq^{-1})y(t) = q^{-1}bu(t) + (1 + cq^{-1})e(t) \quad (4.2.1)$$

med  $a=-0.95$ ,  $b=1$ ,  $c=-0.5$ .

Systemet är ett stabilt min-fas-system av 1:a ordningen, och den optimala regulatorn för detta system kan enligt avsnitt II.2 erhållas om följande identitet löses:

$$C^*(q^{-1}) = A^*(q^{-1})F^*(q^{-1}) + q^{-(k+1)}G^*(q^{-1}) \quad (4.2.2)$$

För systemet (4.2.1) blir identiteten (observera att fördröjningen i regulatorn ökar  $k$ -värdet med 1):

$$1 + cq^{-1} = (1 + aq^{-1})(1 + fq^{-1}) + q^{-2}g \quad \text{som ger}$$

$$\begin{cases} f = c-a = 0.45 \\ g = -af = -a(c-a) = 0.4275 \end{cases}$$

Styrlagen är:

$$\begin{aligned} u(t) &= - \frac{G^*(q^{-1})}{B^*(q^{-1})F^*(q^{-1})} y(t-1) = - \frac{a(c-a)}{b(1 + (c-a)q^{-1})} y(t-1) = \\ &= - \frac{\frac{a}{b}(c-a)}{1 + (c-a)q^{-1}} y(t-1) = - \frac{0.4275}{1 + 0.45q^{-1}} y(t-1) \end{aligned} \quad (4.2.3)$$

Utsignalens varians erhålles med hjälp av polynomet  $F^*$ :

$$E y^2 = 1 + f^2 = 1.2025$$

Vi skall nu studera hur de olika regulatorerna klarar att reglera systemet (4.2.1).

STURE1

Regulatorn estimerar här parametrarna i styrlagen (4.2.3), men då bruset inte är okorrelerat (dvs C-polynomet inte identiskt 1) kan vi inte vänta oss, att estimaten skall konvergera mot de optimala värdena i (4.2.3), dvs  $\alpha_1 = -0.4275$ ,  $\beta_1 = 0.45$ . Som framgår av diagram 4.2.1 är också parameterestimaten "oroliga", men den stationära förlusten är ändå så bra som 1.22. Simuleringen är här gjord med  $P_0=10$ ,  $ULIM=-1$  (dvs ingen begränsning av styrsignalen) samt initialvärdena 0 på parameterestimaten. STURE1 fungerar alltså här utmärkt, särskilt med tanke på den korta räknetiden, ungefär 15 sek per 1000 samplingspunkter.

STURE2

STURE2 identifierar istället parametrarna i systemet, dock inte c-parametrarna. Styrlagen beräknas sedan som i (4.2.3) men utan c-parametrar, och därför blir villkoren för optimal reglering:

$$\begin{cases} \frac{a}{b} = 0.4275 \\ a = -0.45 \end{cases} \Rightarrow \begin{cases} a = -0.45 \\ b = 0.47 \end{cases} \quad (4.2.4)$$

Parameterestimaten framgår av diagram 4.2.2, och förlusten är 1.21 per steg. Ingen signifikant förbättring av regleringen märks alltså jämfört med STURE1. Räknetiden är något längre - 25 sek per 1000 punkter. Simuleringen är gjord med  $P_0=10$ ,  $ULIM=10$  och initialvärdena 0 på parameterestimaten.

STUREM

STUREM identifierar också c-parametrarna, och en betraktelse av styrlagen (4.2.3) ger villkoren på estimaten för att den optimala regulatorn skall fås:



$$\begin{cases} \frac{a}{b}(c-a) = -0.4275 \\ c-a = 0.45 \end{cases} \Rightarrow \begin{cases} \frac{a}{b} = -0.95 \\ c-a = 0.45 \end{cases} \quad (4.2.5)$$

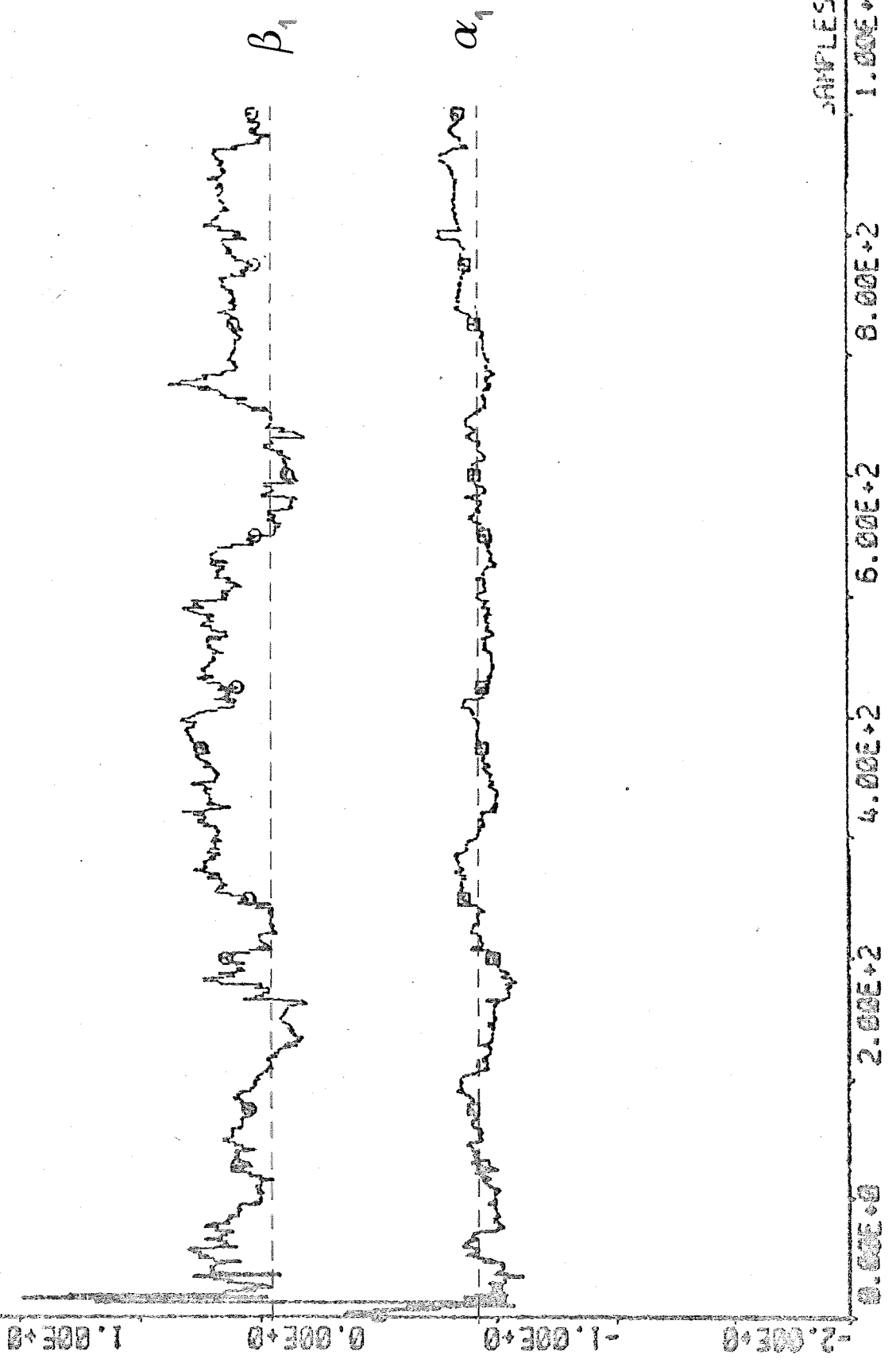
De estimat, som alltså ger en optimal regulator, utgör en lineär mångfald. Estimatens framgång av diagram 4.2.3 och kvantiteterna  $c-a$  och  $a/b$  är plottade i diagram 4.2.4. Insvängningen mot värdena enligt (4.2.5) framgår här tydligt. Den stationära förlusten är samma som för STURE2, dvs 1.21 per steg. Simuleringen använder  $P0=10$ ,  $ULIM=10$  och initialvärden på parametrarna är 0. Räknetiden är längre än för de båda andra regulatorerna, c:a 40 sek per 1000 steg.

#### Sammanställning ex 1

	STURE1	STURE2	STUREM
Initialförlust,total	0	50	50
Stationär förlust per steg	1.22	1.21	1.21
Optimal d:o	1.20	1.20	1.20
P0	10	10	10
ULIM	-1	10	10
Initiala parametervärden	0	0	0
Räknetid per 1000 steg (sek)	15	25	40

NR15 740511

PLOT A 1 B 1 EX 1 STURE1

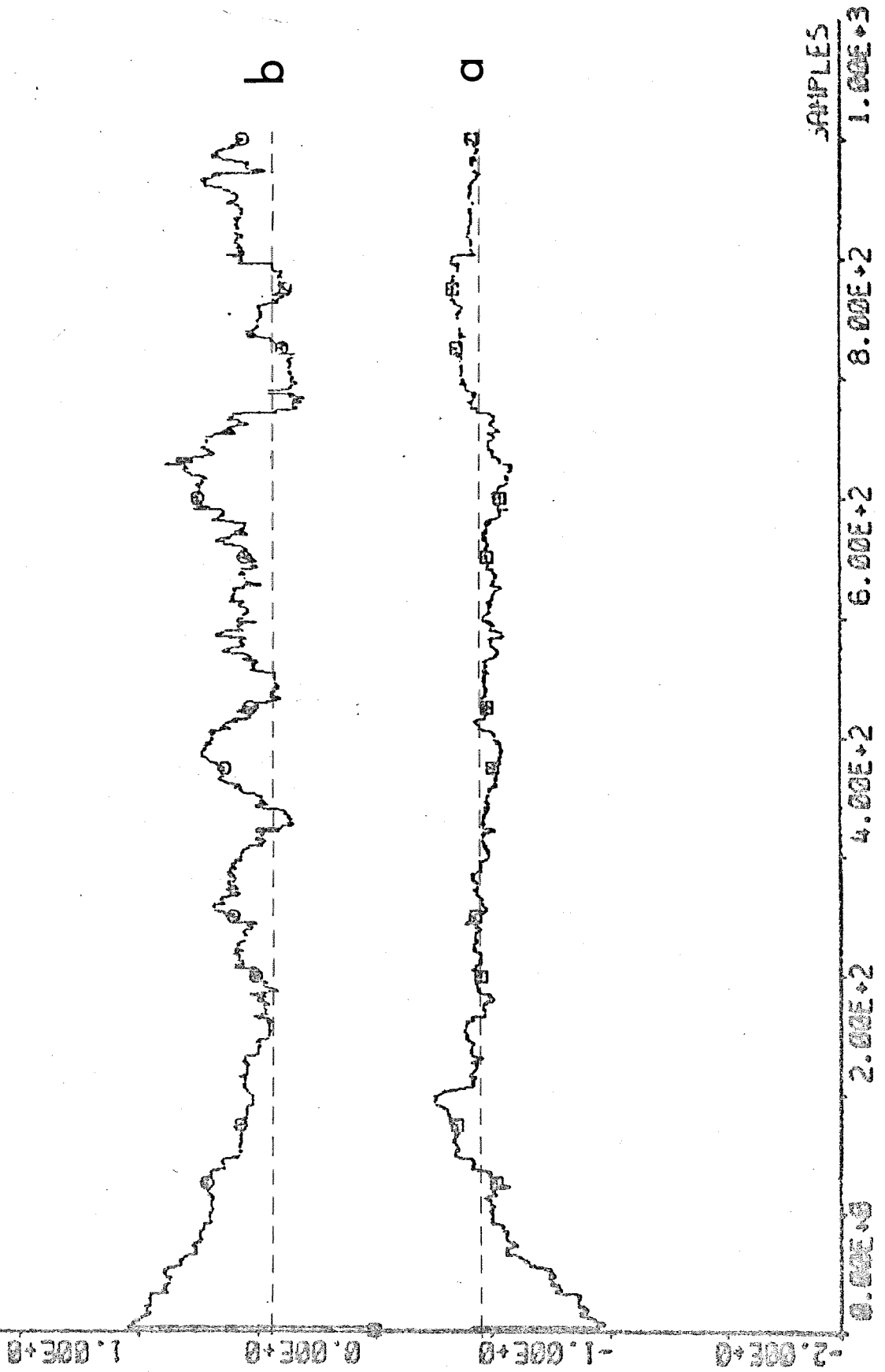


AMPLES 1.00E+3

Diagram 4.2.1

PLOT A I B I -EX I STUREZ

NR16 740511



NR17 740511

PLOT A1B1G1 "EX1 STUREM

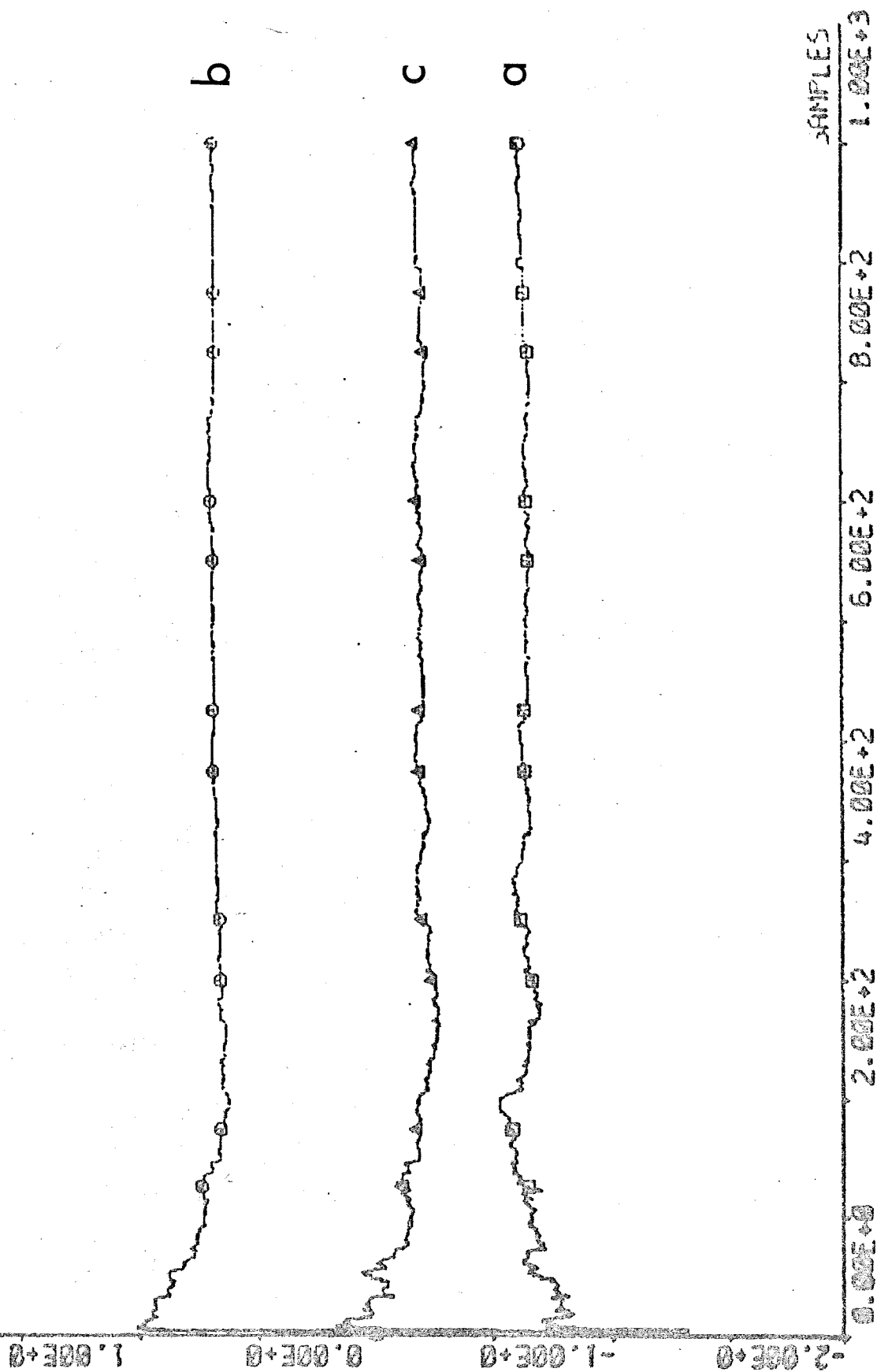


Diagram 4.2.3

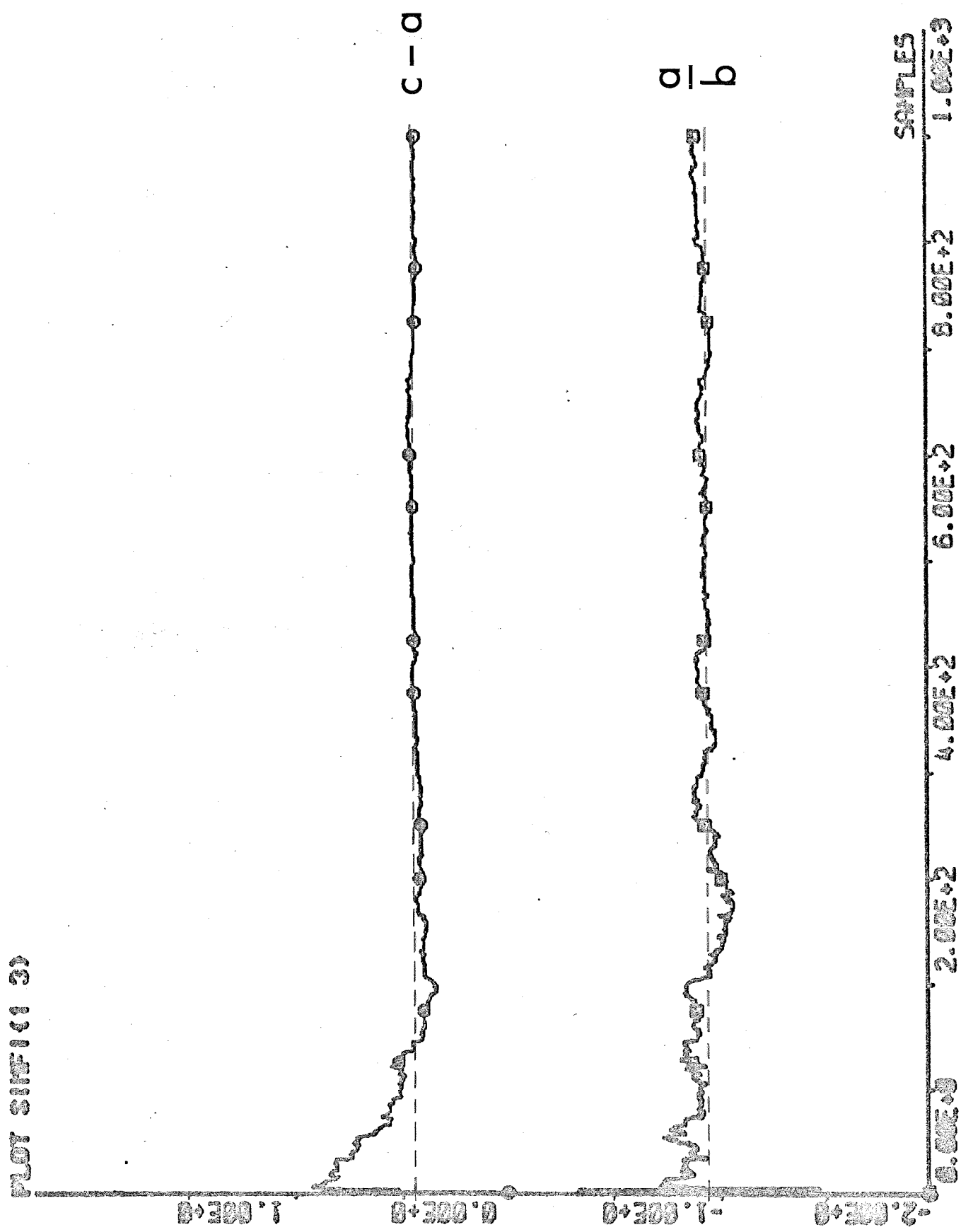


Diagram 4.2.4

3: Exempel 2

Vi skall nu studera systemet (behandlat i {1}, sid 61 ff)

$$(1 + aq^{-1})y(t) = q^{-2}bu(t) + (1 + cq^{-1})e(t) \quad (4.3.1)$$

och särskiljer två fall:

I. $a=-1.5$	II. $a=-1.5$
$b=1$	$b=1$
$c=0$	$c=-0.9$

Systemet är alltså ett instabilt min-fas-system av 1:a ordningen med i fall I C-polynomet identiskt lika med 1, i fall II inte. Identiteten (4.2.2) blir i detta fall:

$$1 + cq^{-1} = (1 + aq^{-1})(1 + f_1q^{-1} + f_2q^{-2}) + q^{-3}g \quad \text{som ger}$$

$f_1 = c-a$	$\underline{\text{I}}$	$\underline{\text{II}}$	
$f_2 = -a(c-a)$	1.5	0.6	
$g = a^2(c-a)$	2.25	0.9	(4.3.2)
	3.375	1.35	

Styrlagen blir:

$$u(t) = \frac{-\frac{a^2}{b}(c-a)}{1 + (c-a)q^{-1} - a(c-a)q^{-2}} y(t-1) \quad (4.3.3)$$

och teoretiskt optimal förlust per samplingsintervall.

$$1 + f_1^2 + f_2^2 = \begin{cases} 8.31 & \text{(fall I)} \\ 2.17 & \text{(fall II)} \end{cases}$$

STUREI

Regulatorn skall estimeras parametrarna i (4.3.3) och för optimal reglering skall gälla:

$$\begin{array}{ll}
 \text{Fall I:} & \alpha_1 = -3.375 \\
 & \beta_1 = 1.5 \\
 & \beta_2 = 2.25 \\
 \text{Fall II:} & \alpha_1 = -1.35 \\
 & \beta_1 = 0.6 \\
 & \beta_2 = 0.9
 \end{array}$$

För fall I är C-polynomet=1 och STURE1 bör alltså inte ha några problem (att öppna systemet är instabilt skall inte betyda något). Diagram 4.3.1 visar också att parameterestimaten svänger kring de rätta värdena. Här har simulerats 2000 punkter beroende på att  $\alpha_1$  är så "orolig". Förlusten är stationärt 8.40 jfrt med 8.31 för optimala fallet.  $P_0=10$ ,  $ULIM=-1$  samt initialvärdena är 0 i simuleringen. I fall II är C-polynomet skilt från 1, men diagram 4.3.2 visar att estimaten ändå svänger in mot de rätta värdena. Förlusten är 2.3 per steg. Parametervärdena är samma som i fall I och ibåda fallen är räknetiden c:a 15 sek per 1000 steg.

#### STURE2

Utesluts c-parametrarna i (4.3.3) får vi de villkor, som måste gälla för att STURE2 skall ge optimal regulator:

$$\begin{array}{ll}
 \text{Fall I:} & \begin{cases} \frac{a^3}{b} = -3.375 \\ a = -1.5 \\ a^2 = 2.25 \end{cases} \Rightarrow \begin{cases} a = -1.5 \\ b = 1 \end{cases} \\
 \text{Fall II:} & \begin{cases} \frac{a^3}{b} = -1.35 \\ a = -0.6 \\ a^2 = 0.9 \end{cases} \Rightarrow \text{lösning saknas}
 \end{array}$$

Vi träffar alltså här på första fallet, då STURE2 inte kan konvergera mot den optimala regulatorn. Detta inträffar dock endast i fall II, och vi inleder med att studera fall I. Diagram 4.3.3 visar att estimaten snabbt konvergerar mot de rätta, och förlusten är också bra: 8.25 per steg. I fall II däremot fås alltså inte den optimala regulatorn, utan STURE2 ger en suboptimal regulator. Diagram 4.3.4 visar parameterestimaten och förlusten är här 4.1 per steg, att jämföra med det optimala 2.17. I båda simuleringarna är  $P_0=10$ ,  $ULIM=50$  och

initialvärdena på parametrarna 0.1, det senare för att undvika de kraftiga styrsignaler i uppstarten som blir följden av initialvärdena 0. Räknetiden är i båda simuleringarna c:a 45 sek per 1000 steg.

### STUREM

I STUREM tas hänsyn även till c-parametrarna och styrlagen (4.3.3) ger villkor på estimaten för att STUREM skall ge den optimala regulatorn:

$$\text{Fall I: } \begin{cases} \frac{a^2}{b}(c-a) = 3,375 \\ c-a = 1,5 \\ a(c-a) = -2,25 \end{cases} \Rightarrow \begin{cases} a = -1,5 \\ b = 1 \\ c = 0 \end{cases}$$

$$\text{Fall II: } \begin{cases} \frac{a^2}{b}(c-a) = 1,35 \\ c-a = 0,6 \\ a(c-a) = -0,9 \end{cases} \Rightarrow \begin{cases} a = -1,5 \\ b = 1 \\ c = -0,9 \end{cases}$$

Vi noterar här, att estimaten måste vara lika med systemets verkliga parametrar för att optimal reglering skall uppnås. För fall I visar diagram 4.3.5 att parameterestimaten är mycket goda och förlusten blir också liten: 8,25. Till skillnad från STURE2 fungerar STUREM bra också i fall II. Estimaten svänger snabbt in sig mot de riktiga värdena, vilket framgår av diagram 4.3.6. Förlusten är stationärt 2,15, vilket visar att STUREM i motsats till STURE2 ger optimal regulator. I både fall I och fall II har STUREM simulerats med initialvärdena 0.1, P0=10 och ULIM=10. Räknetiden rör sig om c:a 55 sek på 1000 punkter.



Sammanställning ex 2

	<u>Fall I</u>		
	STURE1	STURE2	STUREM
Initialförlust,total	20000	20000	0
Stationär förlust per steg	8.40	8.25	8.25
Optimal d:o	8.31	8.31	8.31
P0	10	10	10
ULIM	-1	50	10
Initiala parametervärden	0	0.1	0.1
Räknetid per 1000 steg (sek)	15	45	55

	<u>Fall II</u>		
	STURE1	STURE2	STUREM
Initialförlust,total	2500	1000	300
Stationär förlust per steg	2.3	4.1	2.15
Optimal d:o	2.17	2.17	2.17
P0	10	10	10
ULIM	-1	50	10
Initiala parametervärden	0	0.1	0.1
Räknetid per 1000 steg (sek)	15	45	55

NR 7 740520

PLOT A 1 B 1 2 °EX 2 STURE1 C=0

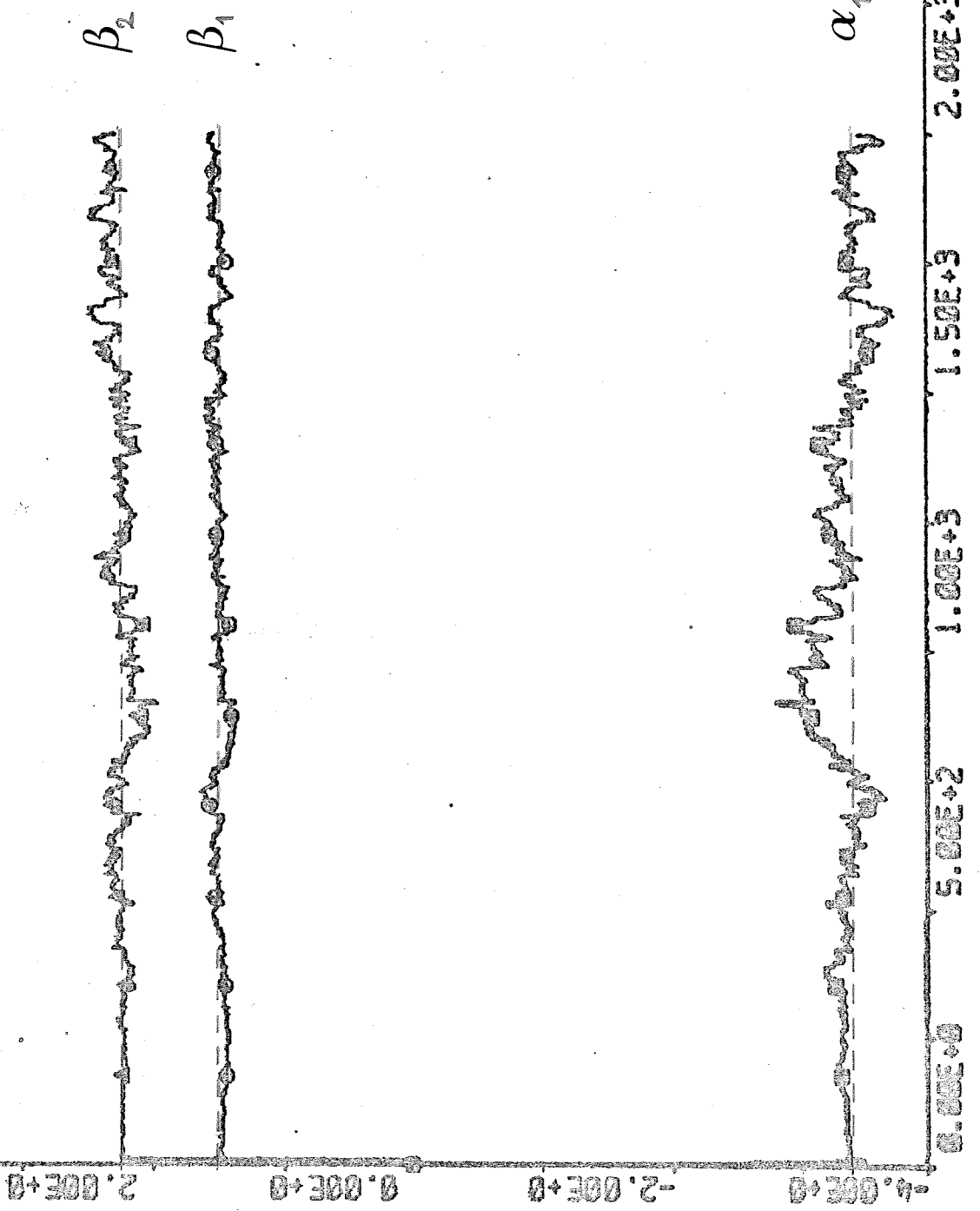


Diagram 4.3.1

NR 1 740601

EX 2 C--0.9 STURE1

PLOT A 1 B 1 2

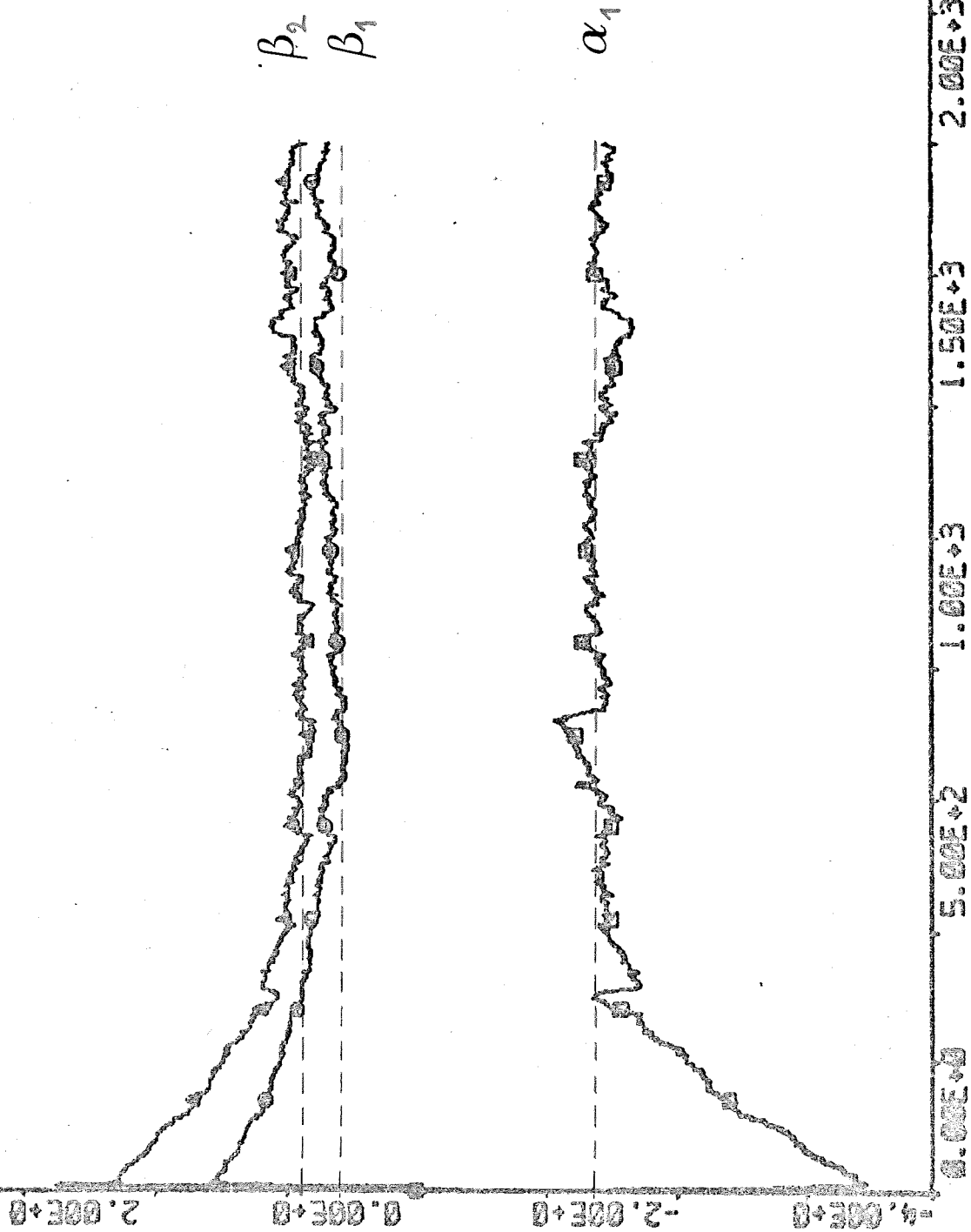


Diagram 4.3.2

PLOT A 1 B 1 -EX 2 C=0 STURE2 NR 5 740001

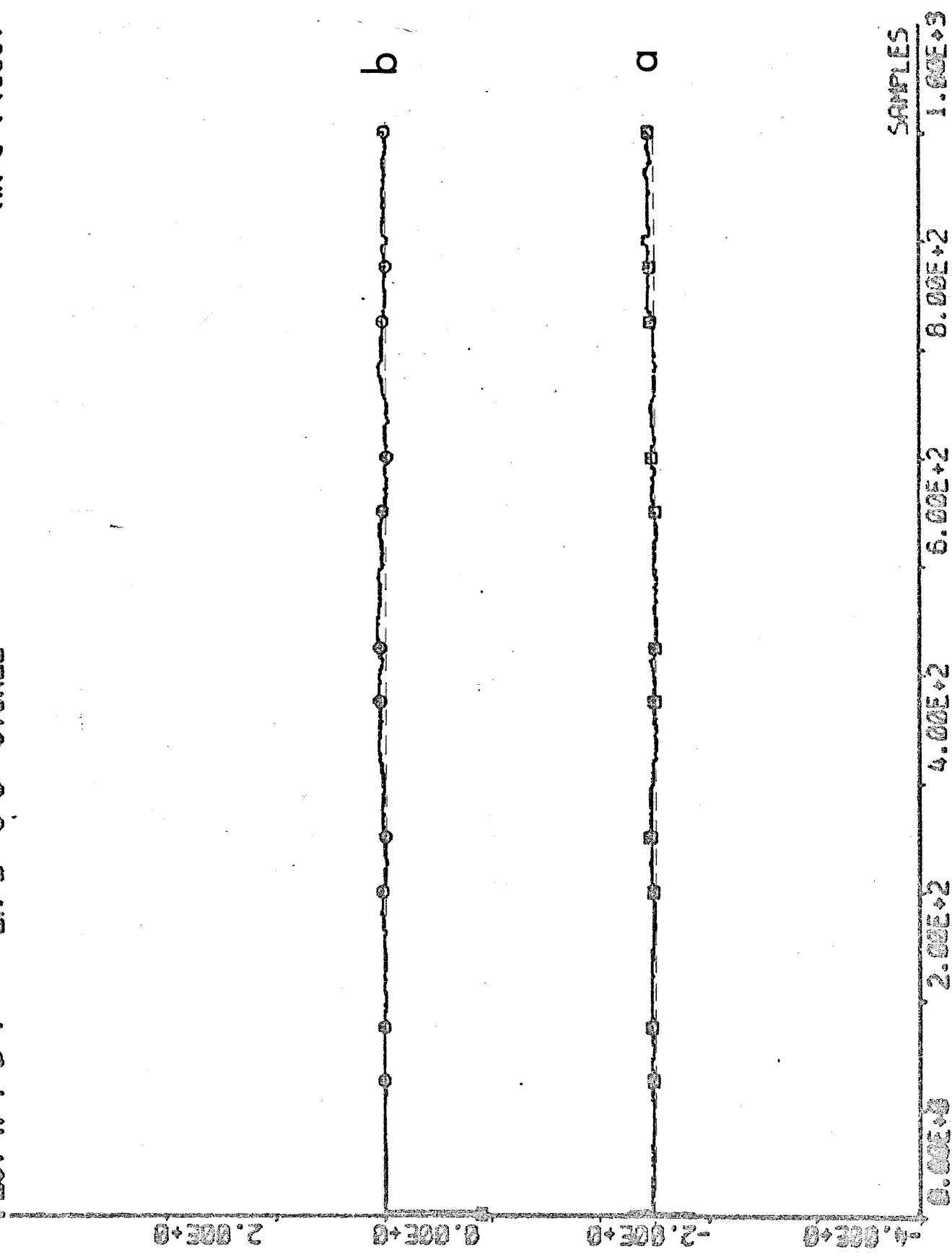


Diagram 4.3.3

NR 4 740001

EX 2 C-0.9 STUREZ

PLOT #1 B 1

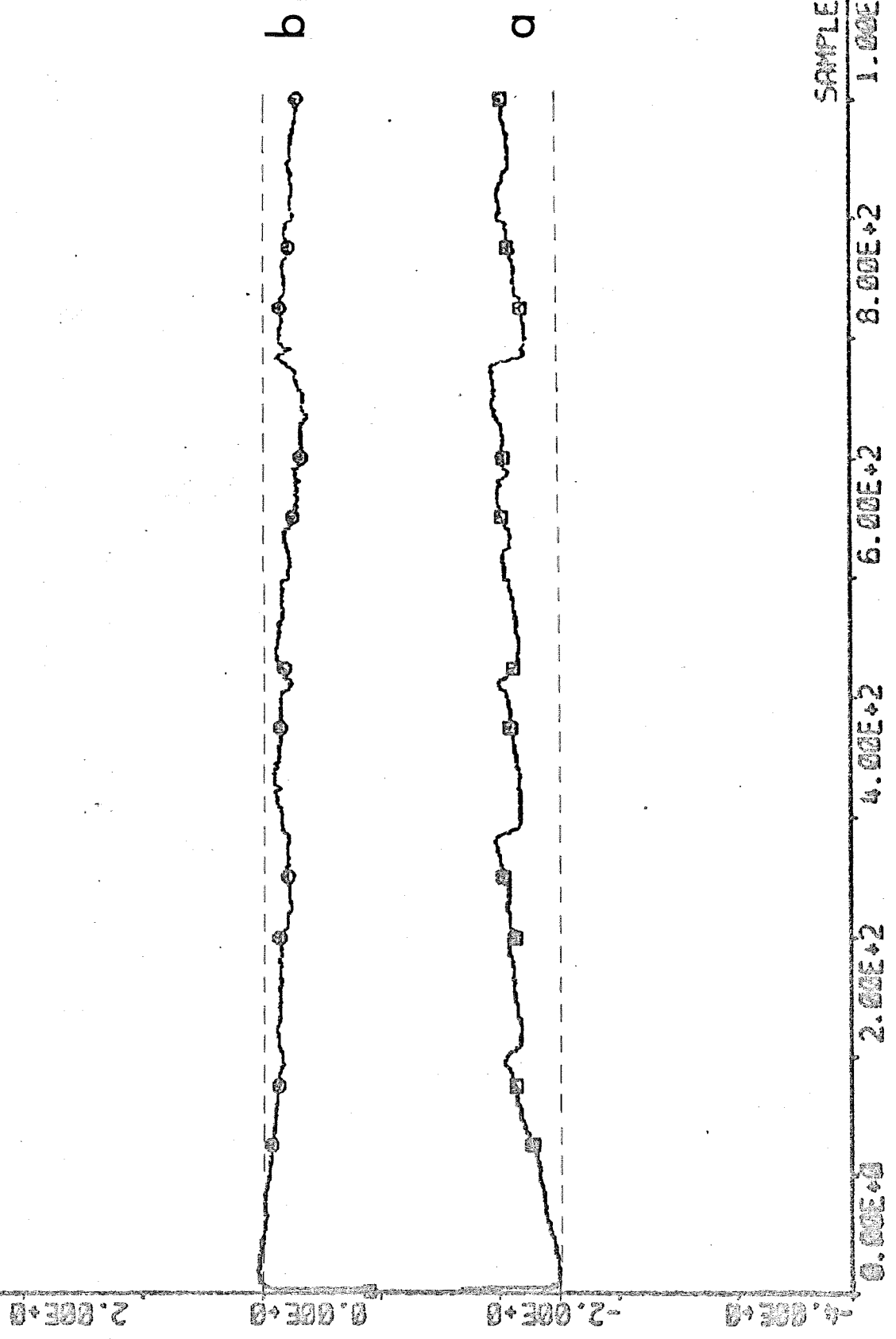


Diagram 4.3.4

NR 6 710501

PLOT A 1 B 1 G 1 "EX 2 C=O STUREH

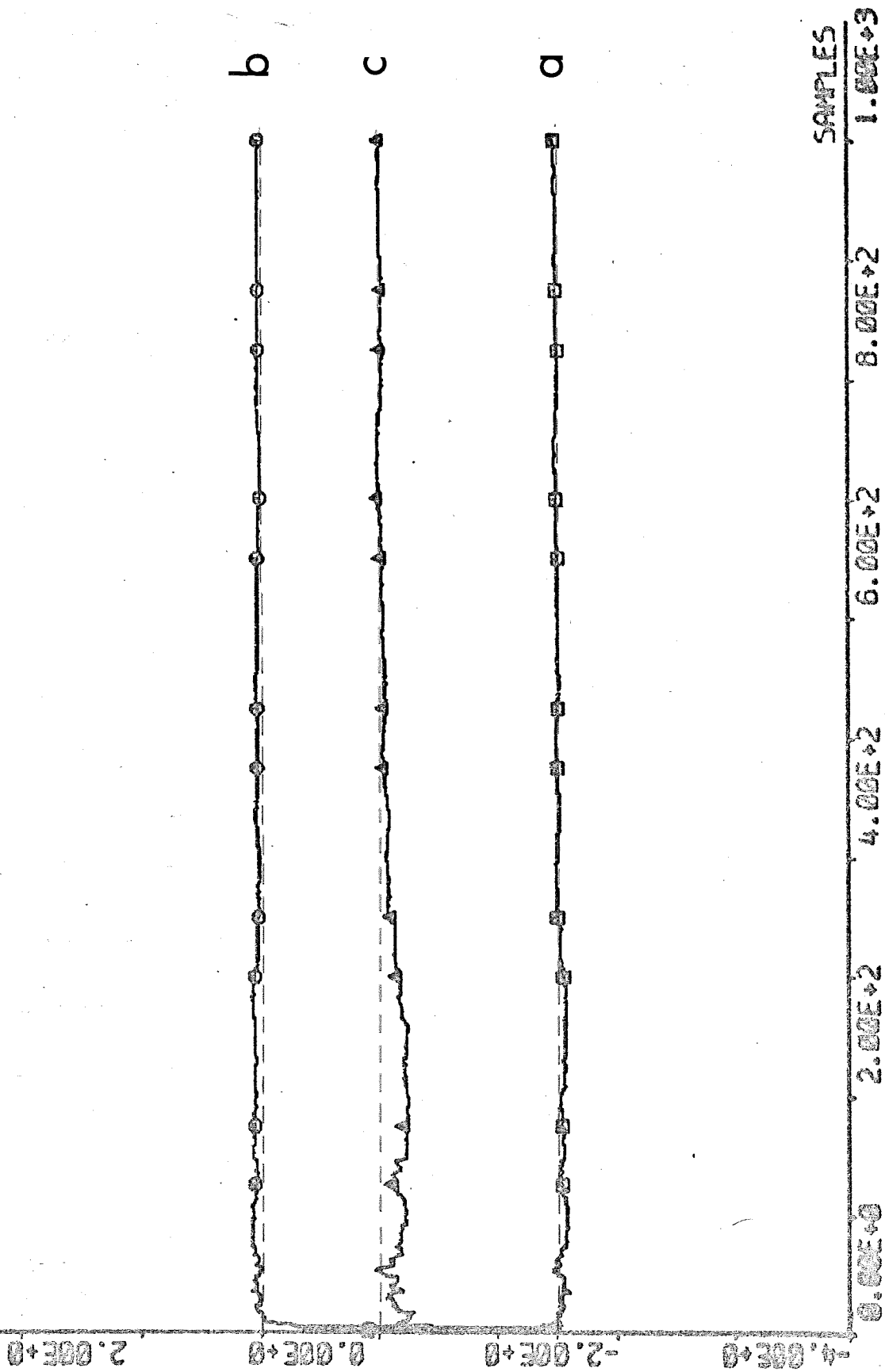
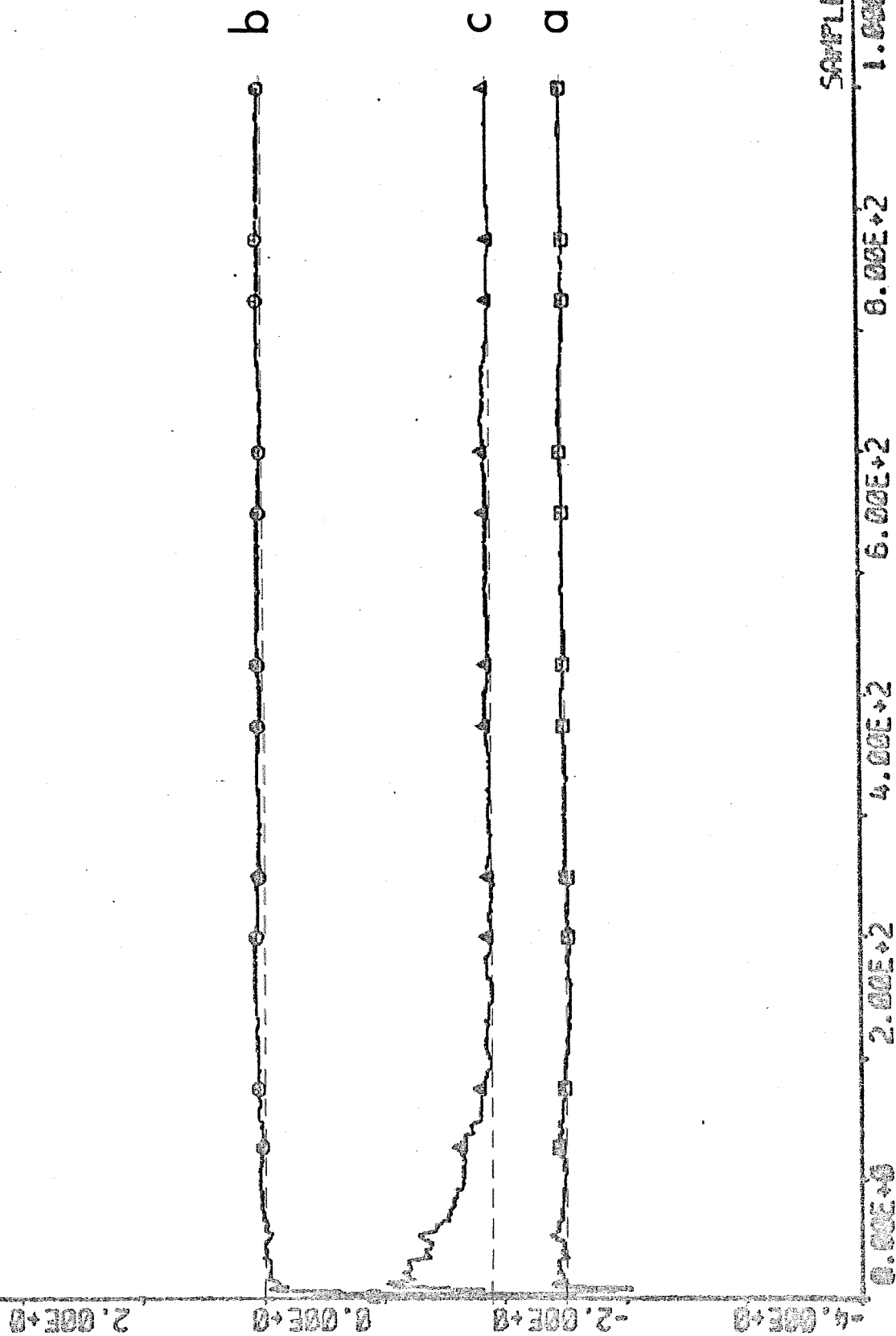


Diagram 4.3.5

NR 0 710001

PLOT A 1 0 1 C 1 "EX 2 C:-0.9 STUREM



SAMPLES	0.00E+0	2.00E+2	4.00E+2	6.00E+2	8.00E+2	1.00E+3
---------	---------	---------	---------	---------	---------	---------

Diagram 4.3.6

### 4. Exempel 3

Systemet vi skall uppehålla oss vid i detta avsnitt är:

$$(1 + aq^{-1})y(t) = q^{-1}(b_1 + b_2q^{-1})u(t) + (1 + cq^{-1})e(t) \quad (4.4.1)$$

med  $a=-0.95$ ,  $b_1=1$ ,  $b_2=2$  samt 3 olika fall för  $c$ -parametrarna:

I  $c=0$

II  $c=-0.3$

III  $c=-0.7$

Detta system behandlas i {3}, ex 6.3. Systemet är alltså ett stabilt 2:a ordningens icke-min-fas-system. Vid härledningen av min-varians-regulatorn ersätts nu identiteten (4.2.2) av identiteten (2.2.3), som för systemet (4.4.1) får utseendet:

$$(b_1q^{-1} + b_2)(1 + cq^{-1}) = (1 + aq^{-1})(f_0 + f_1q^{-1} + f_2q^{-2}) + q^{-2}(b_1 + b_2q^{-1})(g_0 + g_1q^{-1}) \quad (4.4.2)$$

Detta ger följande ekvationssystem för den optimala regulatorn:

$$\begin{cases} b_2 = f_0 \\ b_1 + b_2c = f_1 + af_0 \\ b_1c = f_2 + af_1 + b_1g_0 \\ 0 = af_2 + b_1g_1 + b_2g_0 \\ 0 = b_2g_1 \end{cases} \quad (4.4.3)$$

(4.4.3) har lösningen

$$\begin{cases} f_0 = b_2 \\ f_1 = b_1 + b_2(c-a) \\ f_2 = \frac{b_2(c-a)(b_1-ab_2)}{b_2-ab_1} \\ g_1 = 0 \end{cases} \quad (4.4.4)$$



Detta ger den optimala styrlagen (se II.2):

$$\begin{aligned}
 u(t) &= - \frac{G^*(q^{-1})}{B^+(q^{-1})F^*(q^{-1})} y(t-1) = - \frac{g_0 + g_1 q^{-1}}{f_0 + f_1 q^{-1} + f_2 q^{-2}} y(t-1) = \\
 &= \frac{a(c-a)(b_1 - ab_2)}{b_2(b_2 - ab_1)} \\
 &= \frac{b_1 + b_2(c-a)}{1 + \frac{b_1 + b_2(c-a)}{b_2} q^{-1} + \frac{(c-a)(b_1 - ab_2)}{b_2 - ab_1} q^{-2}} y(t-1) \quad (4.4.5)
 \end{aligned}$$

Med insatta värden fås styrlagen i resp fall:

$$\text{I} \quad u(t) = \frac{-0.444}{1 + 1.45q^{-1} + 0.934q^{-2}} y(t-1)$$

$$\text{II} \quad u(t) = \frac{-0.304}{1 + 1.15q^{-1} + 0.639q^{-2}} y(t-1)$$

$$\text{III} \quad u(t) = \frac{-0.117}{1 + 0.75q^{-1} + 0.246q^{-2}} y(t-1)$$

Det slutna systemet ser nu lite annorlunda ut jämfört med min-fas-fallet:

$$y(t) = \frac{F^*(q^{-1})}{B^-(q^{-1})} e(t) \quad (4.4.6)$$

vilket i vårt exempel blir:

$$y(t) = \frac{b_2 + (b_1 + b_2(c-a))q^{-1} + \frac{b_2(c-a)(b_1 - ab_2)}{b_2 - ab_1} q^{-2}}{b_2 + b_1 q^{-1}} e(t) \quad (4.4.7)$$

För att erhålla utsignalens varians får vi här lösa en integral, vilket gjorts enl {5} och gett resultatet:

$$\text{I} \quad E y^2 = 2.18$$

$$\text{II} \quad E y^2 = 1.55$$

$$\text{III} \quad E y^2 = 1.08$$

Det är nu dags att studera hur regulatorerna klarar sin uppgift på systemet (4.4.1).

### STURE1

Systemet (4.4.1) är icke-min-fas och enl avsnitt II.1 är STURE1-algoritmen då instabil. Vid simulering har också konstaterats, att algoritmen divergerar i samtliga tre fall om rätt k-värde ges till regulatorn. Parameterestimatet är på "rätt väg" i ung 10 steg, men antar därefter helt orimliga värden. I avsnitt II.1 nämns att egenskaperna hos STURE1 kan förbättras kraftigt med hjälp av olika tricks. Några sådana försök har inte gjorts på detta exempel, utan vi nöjer oss med att konstatera divergensen i "normalfallet". Inga diagram ges då dessa saknar intresse.

### STURE2

För fall I har vi anledning att vänta oss en bra reglering med STURE2, då C-polynomet är identiskt 1. Diagram 4.4.1 visar också, att parametrarna svänger kring de rätta värdena. Förlusten ligger också nära den optimala: 2.2 per steg.

I fall II och III kan man inte lösa ekv-systemet (4.4.4) för optimal regulator m.a.p.  $a$ ,  $b_1$  och  $b_2$  när c-parametrarna utesluts. Detta innebär, att STURE2 inte kan konvergera mot min-varians-regulatorn. Man får dock i alla fall en bra reglering - STURE2 ger en suboptimal regulator, som trots fladdrande parameterestimat (se diagram 4.4.2 resp 4.4.3) ger en låg förlust: i fall II 1.6 (optimalt 1.55) och i fall III 1.7 (optimalt 1.08) per samplingsintervall. För samtliga fall verkar det som om sam-variationer hos estimatet inte ger sämre regulator (jfr ex 1 STUREM). Samtliga simuleringar har initialvärden 0,  $P_0=10$  och  $ULIM=10$ . Räknetiden är ungefär 90 sek för 1000 punkter.

### STUREM

Vi väntar oss i fall I, att STUREM skall uppföra sig ungefär som STURE2, eftersom ingen c-parameter finns. STURE2 gav en bra regulator, och det gör STUREM också - förlusten blir liksom för STURE2 2.2 per steg. Parameterestimatet svänger också in mot systemets verkliga,

även om det går något långsamt, vilket framgår av diagram 4.4.4. För fall II och III kan vi vänta oss ett bättre resultat för STUREM än för STURE2, som ju inte gav optimala regulatorn. Parameterestimaten i fall II enl diagram 4.4.5 verkar svänga in mot de verkliga värdena, om än långsamt. Estimaten i fall III däremot tenderar knappast gå in mot de rätta värdena, vilket skulle kunna förklaras med att kanske också andra parameterkombinationer än de rätta ger en optimal regulator. Eventuellt är detta också möjligt i fall I och fall II. Trots att estimaten alltså är lite "underliga" visar sig förlusten vara mycket bra: 1.56 i fall II, 1.1 i fall III. STUREM är alltså här en betydligt bättre regulator än STURE2. Parametervärden vid simuleringarna var samma som för STURE2: P0=10, ULIM=10 samt initialvärden 0. Räknetiden är ungefär densamma - 100 sek för 1000 punkter.

### Sammanställning ex 3

	<u>Fall I</u>		<u>Fall II</u>		<u>Fall III</u>	
	S2	SM	S2	SM	S2	SM
Initialförlust, total	4500	700	5000	700	400	5500
Stationär förlust per steg	2.2	2.2	1.6	1.56	1.7	1.1
Optimal d:o		2.18		1.55		1.08
P0	10	10	10	10	10	10
ULIM	10	10	10	10	10	10
Initiala parametervärden	0	0	0	0	0	0
Räknetid per 1000 steg (sek)	90	100	90	100	90	100

OBS! STURE1 divergerar i samtliga fall.

HR26 710511

EX 3 C=O STUREZ

PLOT A 1 B 1 2

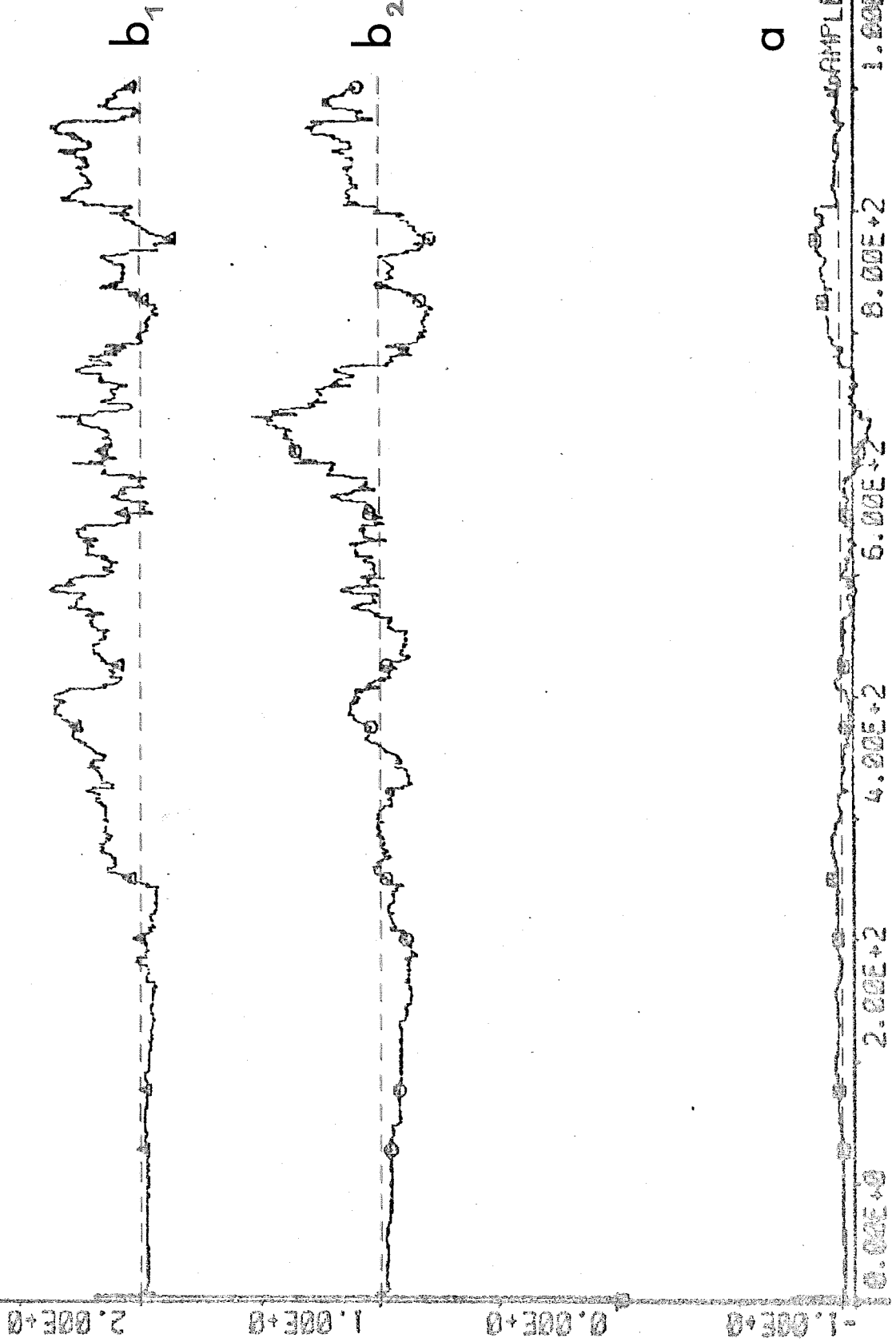


Diagram 4.4.1

NR29 740511

EX 3 C=-0.3 STURE2

PLOT A 1 B 1 2

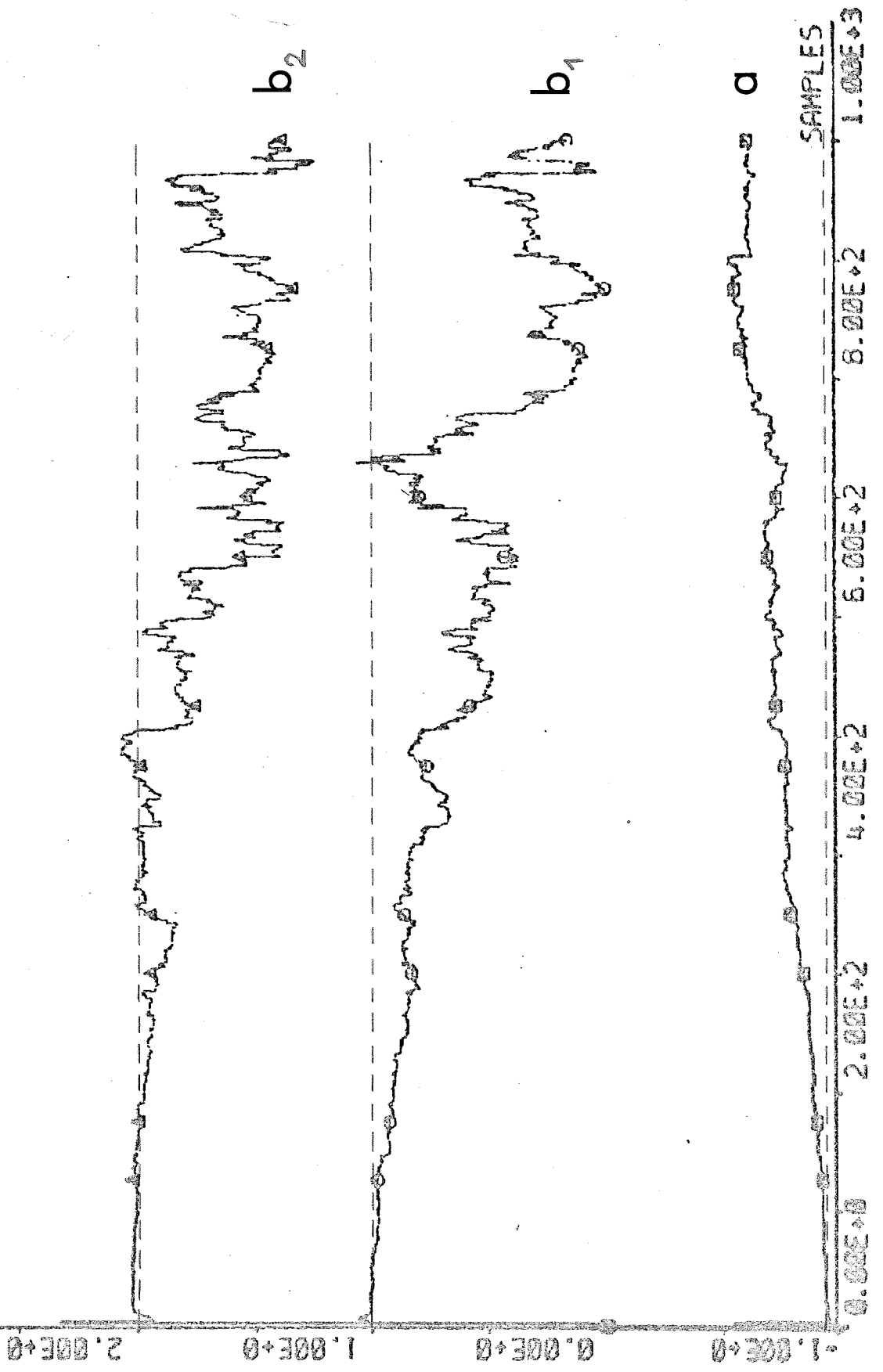


Diagram 4.4.2

NR32 740511

EX 3 C=-0.7 STUREZ

PLOT A 1 0 1 2

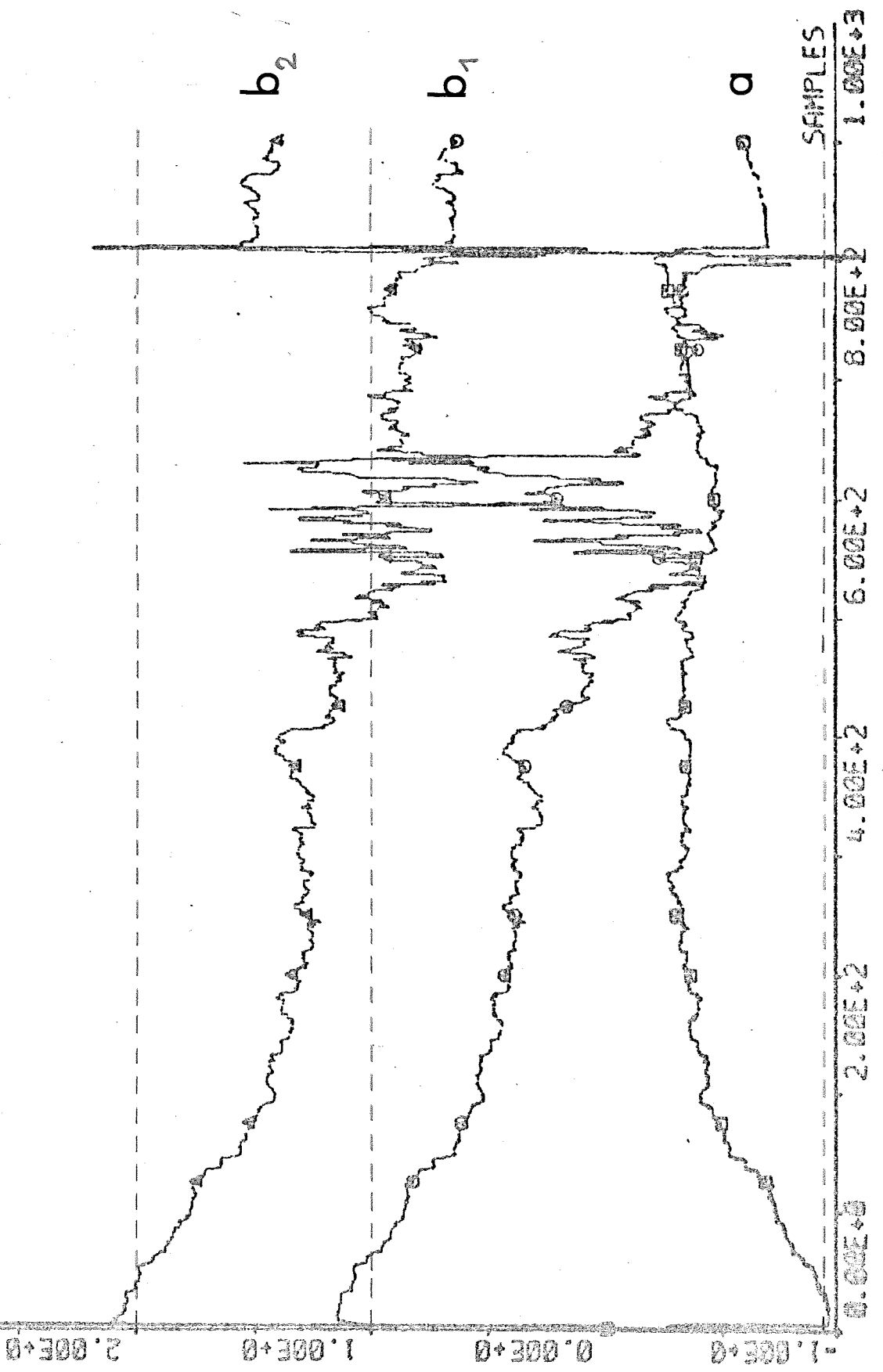


Diagram 4.4.3

NR27 746511

EX 3 C=O STUREM

PLOT A 1 0 1 2 6 1

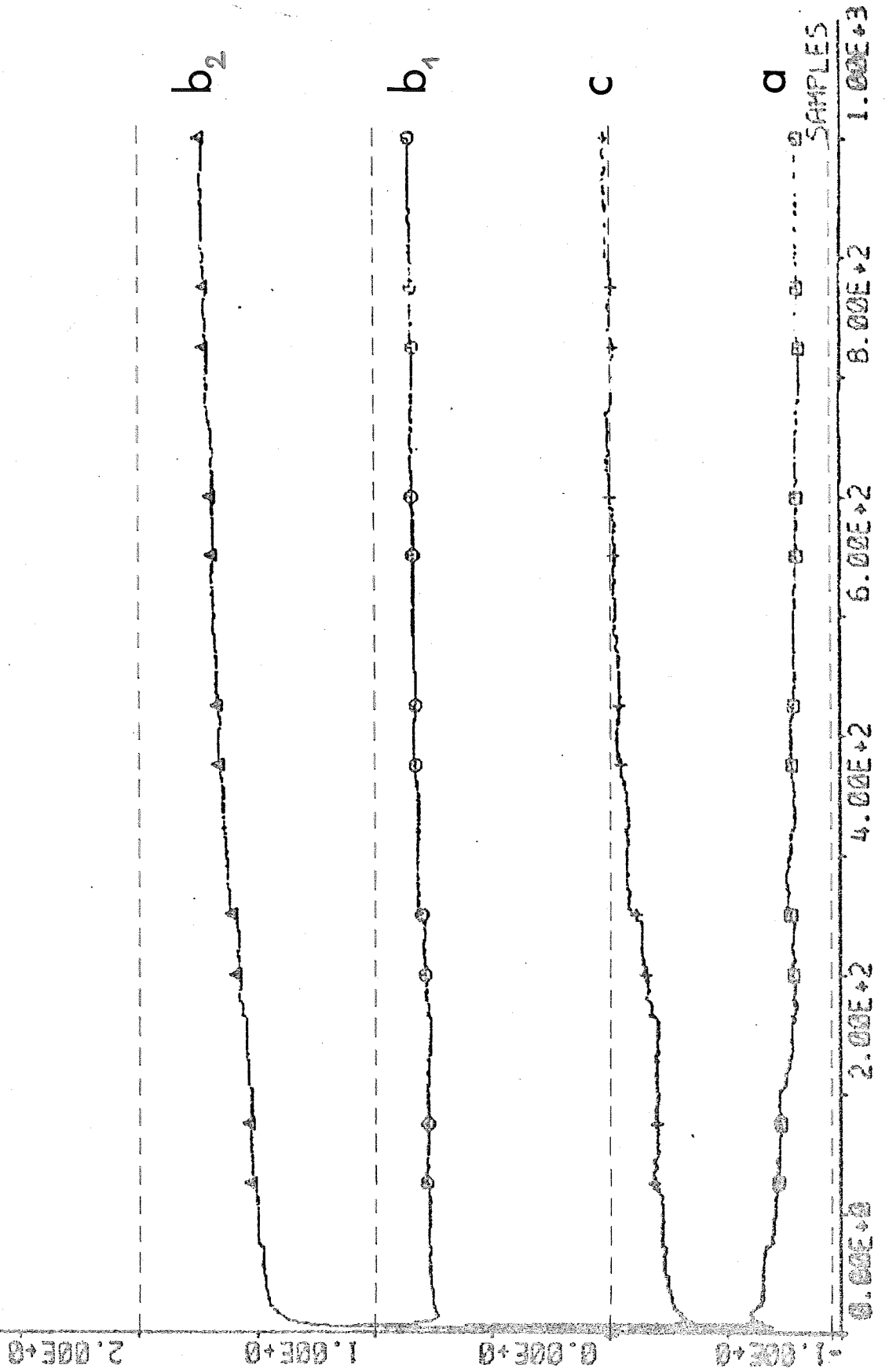


Diagram 4.4.4

PLOT A 1 B 1 2 C 1 "EX 3 C=-0.3 STUREM NR38 740511

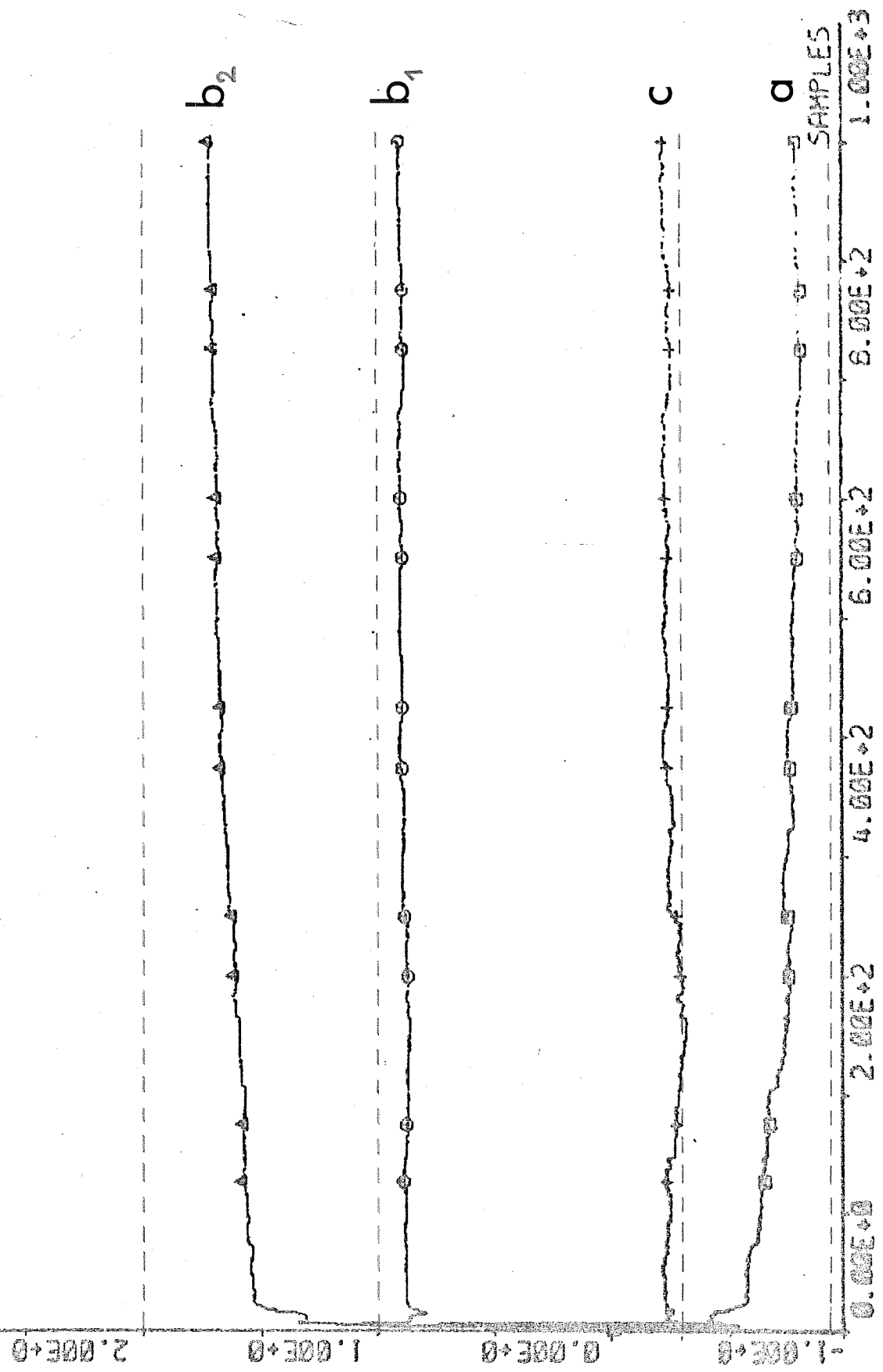


Diagram 4.4.5



FLOT A 1 B 1 2 6 1 -EX 3 C=0.7 STUREN NR33 740511

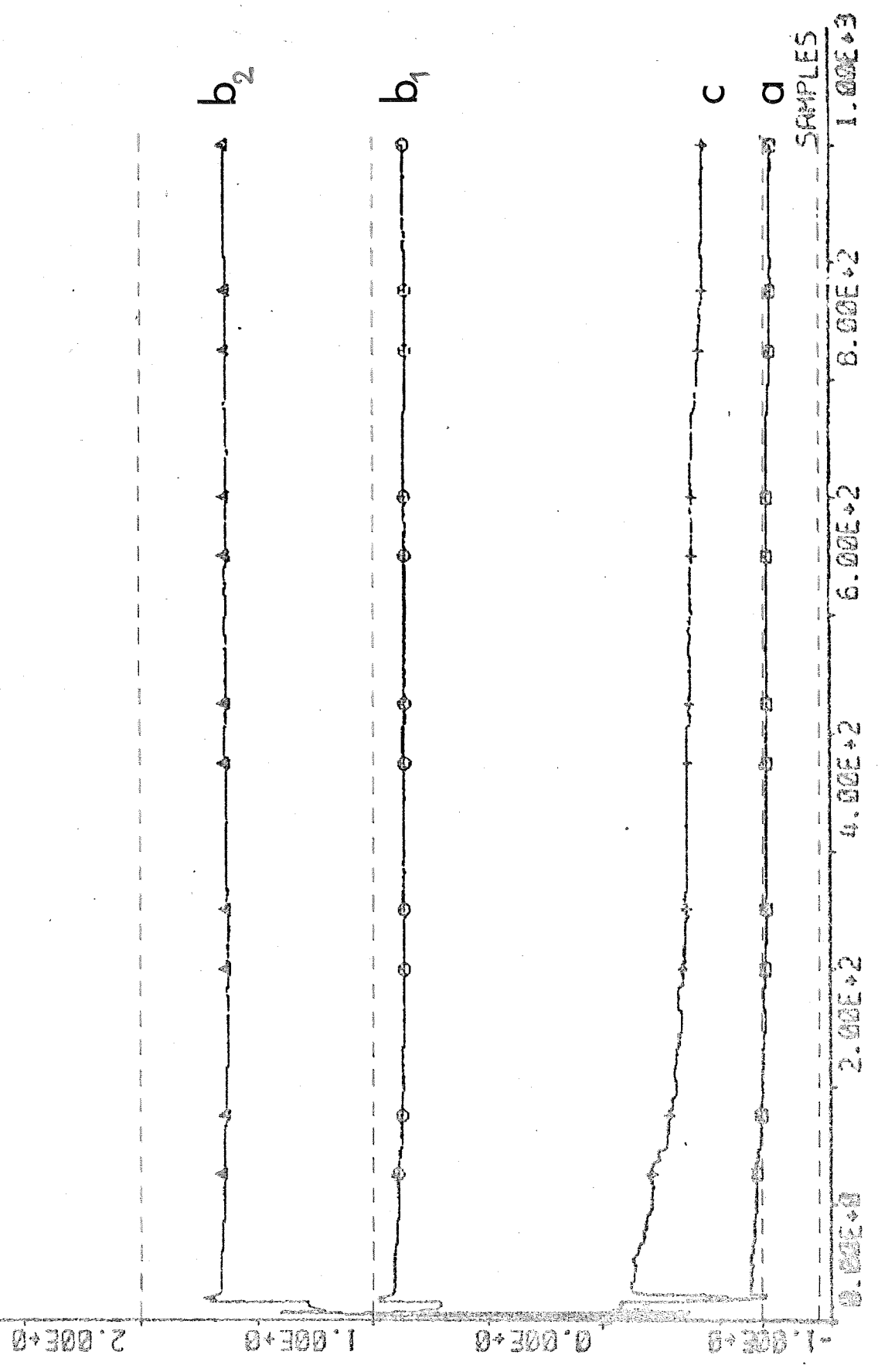


Diagram 4.4.6

### 5. Exempel 4

Vi skall slutligen studera systemet

$$y(t) = \frac{-q^{-1} + 1.3q^{-2}}{1 - 0.7q^{-1}} u(t),$$

som störs på utgången av drivande brus  $v(t)$ , givet av:

$$v(t) = \frac{1}{(1-0.7q^{-1})(1-q^{-1})} e(t), \quad \text{där } e(t) \text{ är vitt brus.}$$

Detta ger oss slutligen systemet

$$(1 + \alpha_1 q^{-1})(1 + \alpha_2 q^{-1})y(t) = -q^{-1}(1 + \beta_1 q^{-1})(1 + \beta_2 q^{-1})u(t) + e(t)$$

$$\begin{aligned} \text{med} \quad \alpha_1 &= -1 & \beta_1 &= -1 \\ \alpha_2 &= -0.7 & \beta_2 &= -1.3 \end{aligned} \quad (4.5.1)$$

Det är alltså fråga om ett 3:e ordningens system, som är icke-min-fas och med A-polynomets nollställen i 0, 0.7 och 1, B-polynomets i 1.3 och 1.

Identiteten (2.2.3) blir för systemet (4.5.1):

$$\begin{aligned} q^{-1} + \beta_2 &= (1 + \alpha_1 q^{-1})(1 + \alpha_2 q^{-1})(f_0 + f_1 q^{-1} + f_2 q^{-2}) + \\ &+ q^{-2}(1 + \beta_2 q^{-1})(g_0 + g_1 q^{-1}) \end{aligned} \quad (4.5.2)$$

För att få den optimala regulatorn, skall vi alltså lösa ekv-systemet

$$\begin{cases} f_0 = \beta_2 \\ 1 = f_1 + f_0(\alpha_1 + \alpha_2) \\ 0 = f_2 + f_1(\alpha_1 + \alpha_2) + f_0\alpha_1\alpha_2 + g_0 \\ 0 = f_2(\alpha_1 + \alpha_2) + f_1\alpha_1\alpha_2 + g_0\beta_2 + g_1 \\ 0 = f_2\alpha_1\alpha_2 + \beta_2 g_1 \end{cases} \quad (4.5.3)$$

Detta ger oss:

$$\begin{cases} f_0 = -1.3 \\ f_1 = -1.21 \\ f_2 = -4.6518 \\ g_0 = 3.5048 \\ g_1 = -2.5048 \end{cases}$$

dvs styrlagen för min-variens-regulatorn är:

$$\begin{aligned} u(t) &= - \frac{G^*(q^{-1})}{B^+(q^{-1})F^*(q^{-1})} y(t) = - \frac{g_0 + g_1 q^{-1}}{(1 + \beta_1 q^{-1})(f_0 + f_1 q^{-1} + f_2 q^{-2})} y(t-1) = \\ &= \frac{3.5048 - 2.5048 q^{-1}}{(1 - q^{-1})(-1.3 - 1.21 q^{-1} - 4.6518 q^{-2})} y(t-1) \end{aligned} \quad (4.5.4)$$

Det slutna systemet är:

$$\begin{aligned} y(t) &= \frac{F^*(q^{-1})}{B^-(q^{-1})} e(t) = \frac{f_0 + f_1 q^{-1} + f_2 q^{-2}}{b_2 + q^{-1}} e(t) = \\ &= \frac{1.3 q^2 + 1.21 q + 4.6518}{1.3 q^2 - q} e(t) \end{aligned} \quad (4.5.5)$$

På samma sätt som i avsnitt IV.4. har utsignalens varians beräknats:

$$E y^2 = 62.$$

Vi skall nu se hur de olika regulatorerna löser uppgiften att reglera systemet (4.5.1).

#### STURE1

Eftersom det betraktade systemet är icke-min-fas, så ger STURE1 ett instabilt slutet system. Några försök att förbättra regleringen med hjälp av olika tricks har inte heller här gjorts. För redogörelse av sådana försök hänvisas till [1], sid 83 ff. Av ovanstående anledning presenteras inga diagram för STURE1.

## STURE2, STUREM

Eftersom systemet (4.5.1) har ett C-polynom, som är identiskt lika med 1, väntas att STURE2 och STUREM skall ha samma egenskaper vid regleringen. Detta har också verifierats vid simuleringarna, och därför är resultaten i fortsättningen giltiga för båda regulatorerna. Systemet, som skall regleras, är stört av brus, som driver. Av denna anledning kan man misstänka, att styrsignalen ibland måste vara stor, för att regleringen skall bli bra. Därför har ingen begränsning av styrsignalen införts.

Vi skall börja "försiktigt" med att studera en simulering med  $P_0=0$  och  $Q_2=0$  samt med rätta initialvärden. Parameterestimaten ligger alltså helt rätt hela tiden, och som väntat blir regleringen bra. Av diagram 4.5.1 framgår att ovanstående förmodan om styrsignalen var riktig. Förlusten är nära den optimala - 63 per steg.

Vi inför nu lite osäkerhet på estimaten -  $P_0$  får värdet 0.01. Fortfarande är initialvärdena de riktiga. Estimaten svänger snabbt in sig, vilket framgår av diagram 4.5.2. Däremot är, trots de goda estimaten, regleringen dålig upp till ung punkt 1000 (se diagram 4.5.3). Förlusten är under dessa 1000 samplingsintervall i medeltal hela 5000 per steg. Samtidigt kan noteras, att Riccati-ekvationen måste itereras maximalt antal gånger - 10 - i nästan varje punkt. Efter dessa c:a 1000 punkter blir regleringen drastiskt bättre och förlusten blir bara c:a 60 per steg. Denna goda reglering har dock visat sig vara en tillfällighet. En simulering med  $P_0=10$  och i övrigt samma förutsättningar har gett samma utförande, men till synes "omotiverat" fås en kraftig spik i styrsignalen och därmed utsignalen efter drygt 1000 samplingspunkter (se diagram 4.5.4). Också här har Riccati-ekvationen mycket svårt att konvergera.

Riccati-ekvationens svårighet att konvergera skulle kunna förklaras med problemets art - ett nollställe till B-polynomet och därmed en pol till det slutna systemet ligger på enhetscirkeln. Den dåliga konvergensen skulle i sin tur kunna resultera i en endast positivt semi-definit matris S och därmed i en singular term i ekv (2.2.7). Detta kan man tänka sig att försöka avhjälpa genom att sätta  $Q_2$  större än 0. Resultatet av denna åtgärd med  $Q_2=0.1$  ses i diagram (4.5.5) Som tidigare gäller  $P_0=0.01$  och riktiga initialvärden. Parameterestimaten blir snabbt bra och regleringen upp till ung punkt 1500 är också bra -

förlusten är c:a 70 per steg. Därefter uppträder emellertid samma fenomen som tidigare, och också i detta fall konvergerar iterationen av Riccati-ekvationen dåligt.

Ovanstående får anses vara resultat av en inledande undersökning av problemet. Ytterligare simuleringar redovisas inte. Som avslutning skall dock nämnas att vi försökt förbättra resultaten genom att skala problemet (dvs använt ett  $R_0 < 1$ ) för att få det slutna systemets poler strängt innanför enhetscirkeln. Metoden har gett dåligt resultat - det principiella uppförandet är samma som tidigare - men är, tror vi, ändå värd att undersöka närmare.

EX 4 STUREM PO=0 02=0

IR 1 70017

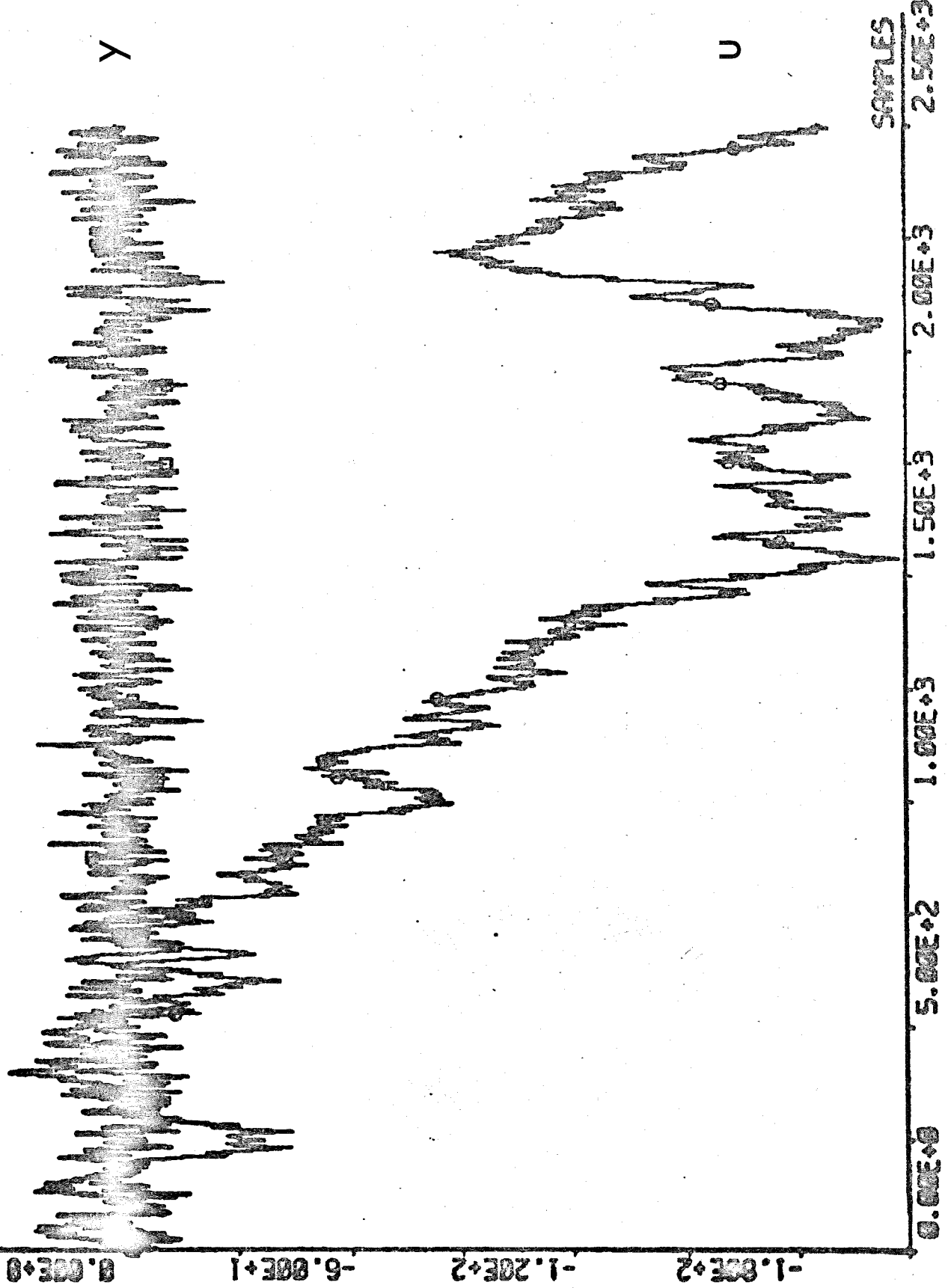


Diagram 4.5.1

PLOT A 1 2 B 1 2 3 EX 4 STUREM PO=0.01 Q2=0 NR 2 740017

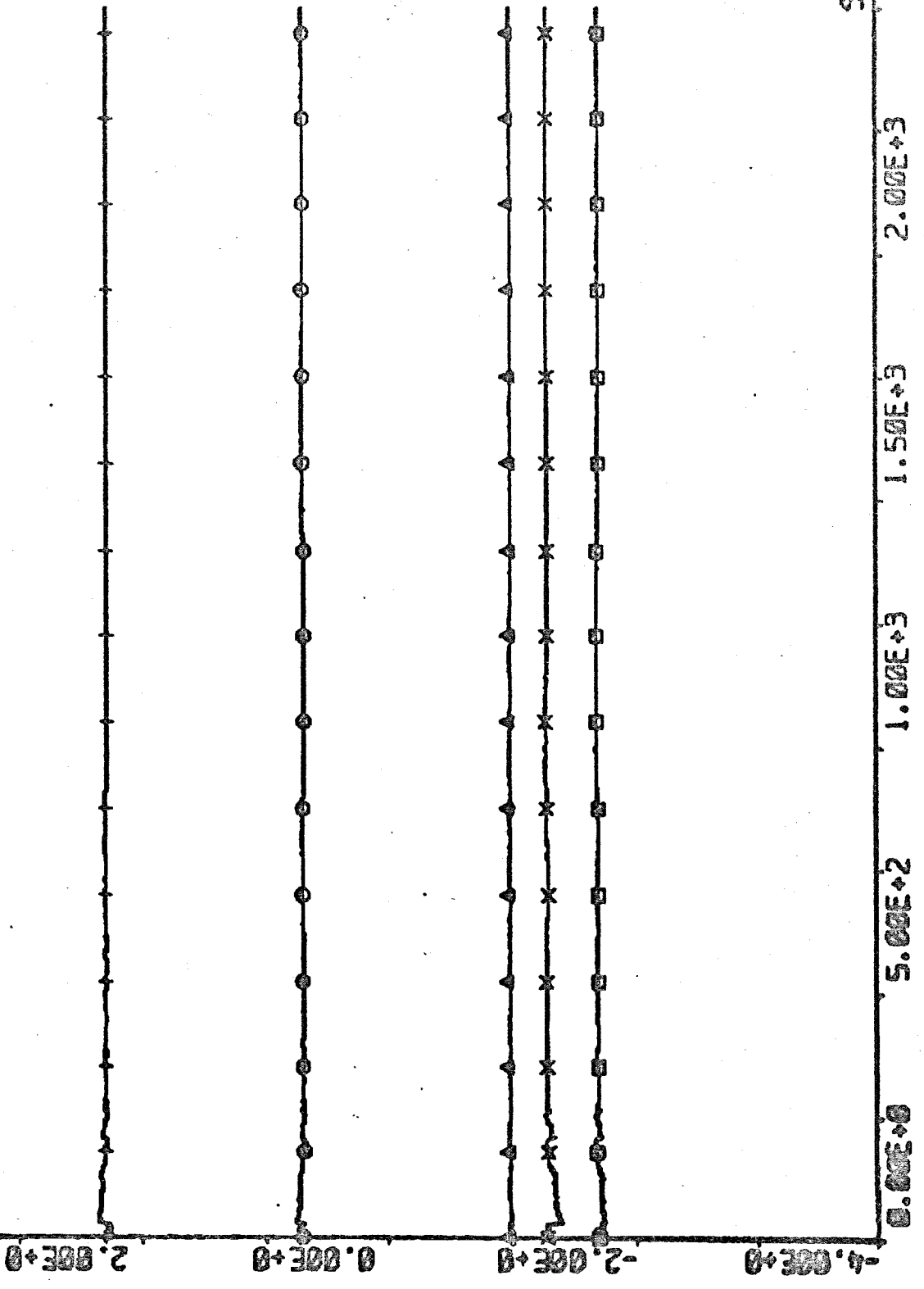


Diagram 4.5.2

NR 2 740617

EX 4 STUREM PO=0.01 02:0

PLOT U Y

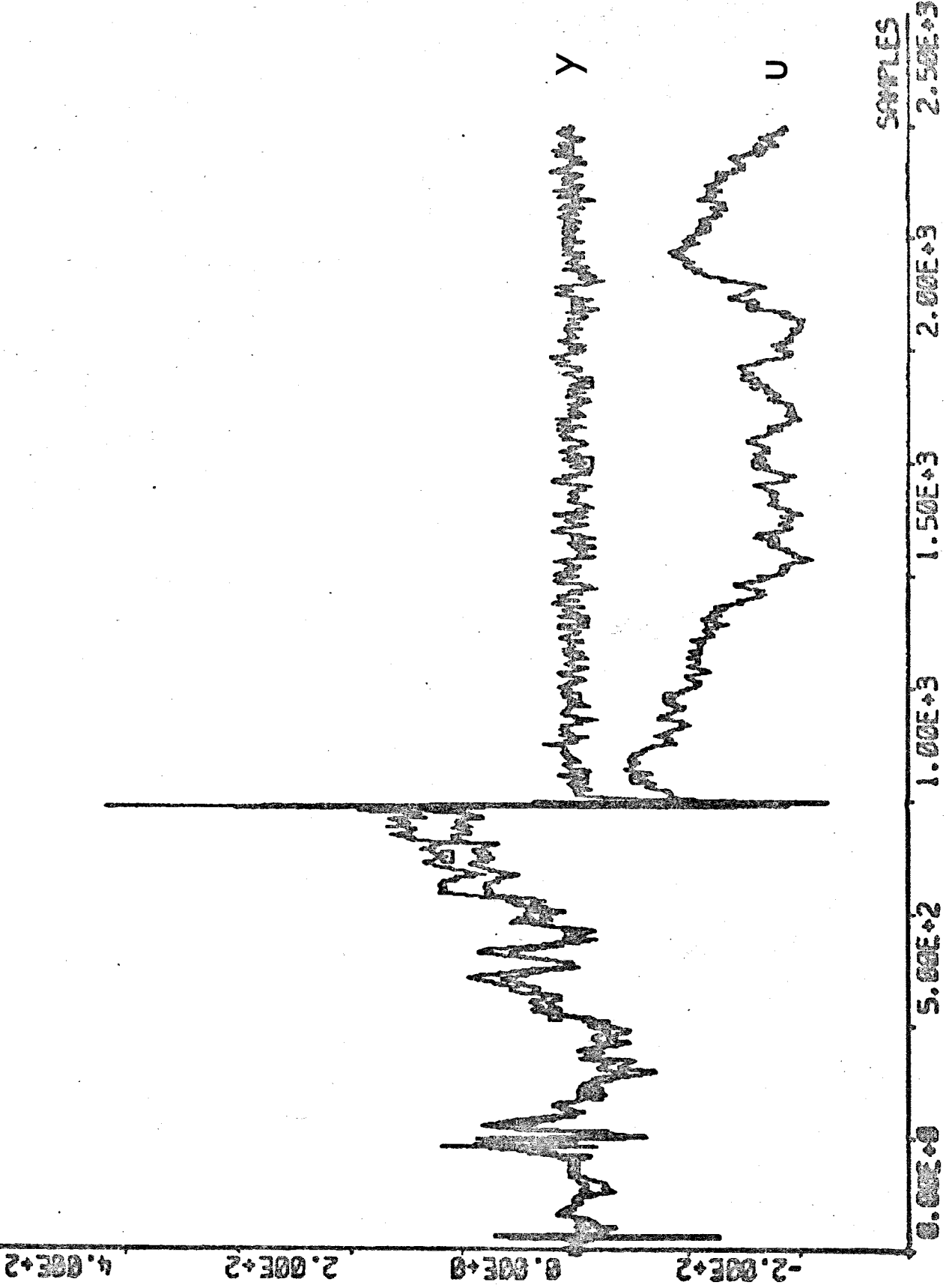


Diagram 4.5.3



NR25 740001

"EX 4 STURE2

APLOT U

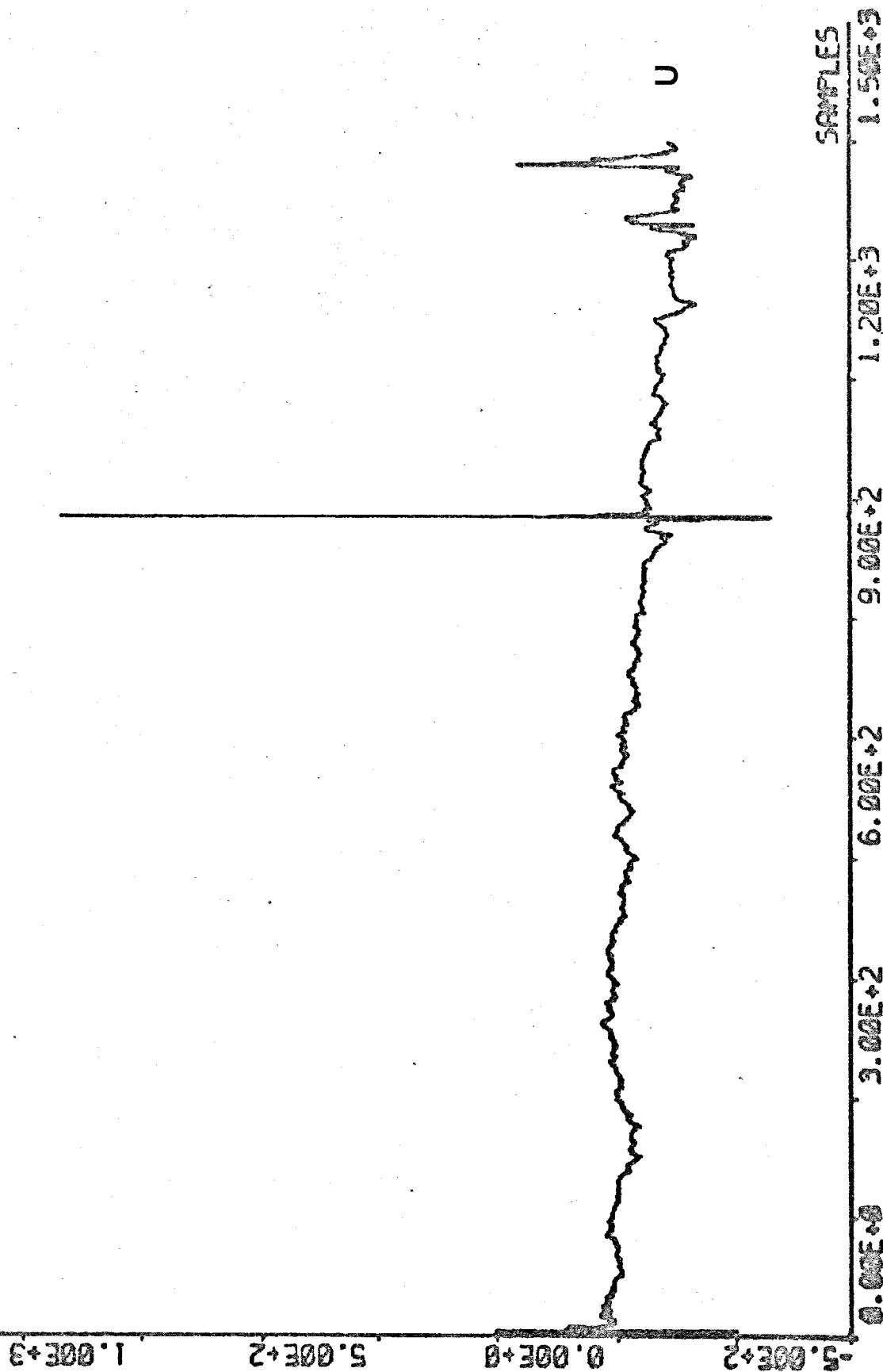


Diagram 4.5.4

NR 3 740817

EX 4 STUREM PO=0.01 02=0.1

PLOT U Y

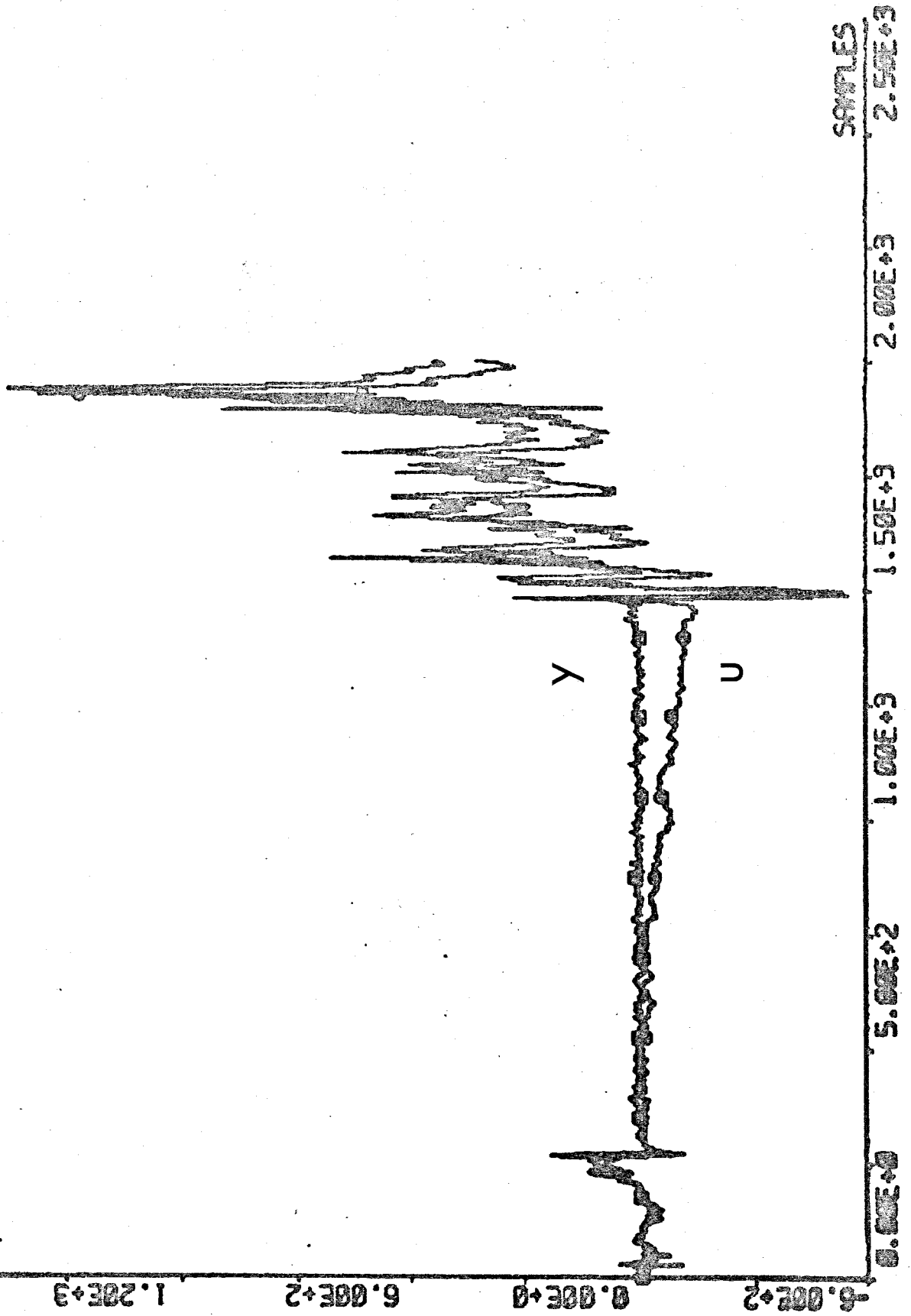


Diagram 4.5.5

## 6. Sammanfattning

STURE1 är den regulator, som visat sig avgjort enklast och snabbast av de tre studerade. Det förefaller också som den är "robust" på så sätt att inställning av parametrar är okritisk. Den reglerar minimum-fas-system bra men på icke-min-fas-system är STURE2 och STUREM klart överlägsna, även om STURE1 kan fås att fungera genom olika tricks.

STURE2 och STUREM uppvisar i stort sett samma egenskaper - de är båda betydligt mer komplicerade än STURE1 och har därför längre räknetid men reglerar i gengäld även icke-min-fas-system (se dock ex. 4). Den något längre räknetiden för STUREM jämfört med STURE2 förefaller vara marginell, varför STUREM på oss verkar vara att föredra. Detta särskilt som STURE2 inte estimerar c-parametrarna och därför ibland bara konvergerar mot en suboptimal regulator.

## V. SLUTORD

Vi har nu redogjort för det, programpaket, som utgör huvudresultatet av examensarbetet, och även visat hur det kan användas för att studera olika regulatorers egenskaper.

Naturligtvis finns det stort utrymme att förbättra paketet och därmed öka användarens möjligheter. Under arbetets gång har vi försökt göra paketet någorlunda flexibelt - sålunda är flera program förberedda för ytterligare kommandons införande. Detta gäller också s.k. direktkommandon (som tilldelar en parameter ett värde) med inhämtning och testning. Tänkbara önskemål på en ny version av STURE är

- handhavande av flera filer,
- flera sparade variabler,
- möjlighet att plotta uttryck i parameterestimat (t.ex.  $c_1 = a_1$ )
- möjlighet att plotta referenslinjer,
- möjlighet att plotta valfritt antal punkter per sida,
- samtidig plottning.

Slutligen vill vi rikta ett varmt tack till våra handledare

- Staffan Selander, som tåligt understött oss med mycken programmeringskunskap,
- Torsten Söderström, som diskuterat mycket "regulatoruppförande" med oss och hjälpt oss få arbetet "i hamn", samt
- Björn Wittenmark, som introducerade oss i arbetet, och visade tålamod trots vår "tröga" start.

VI. REFERENSER

- En utförligare presentation och diskussion av STURE1-algoritmen ges i
- {1} B Wittenmark: A Self Tuning Regulator (Report 7311)
  - {2} KJ Åström/B Wittenmark: On Self Tuning Regulators (Report 7317)
- STURE2 presenteras närmare i
- {3} KJ Åström/B Wittenmark: Analysis of a Self Tuning Regulator for Non Minimum Phase Systems (IFAC Budapest sept 1974)
- Identifieringsmetoden, använd i STUREM, återfinns i
- {4} T Söderström: An On-line Algorithm for Approximate Maximum Likelihood Identification of Linear Dynamic Systems (Report 7308)
- För beräkning av varianser har använts metoder enligt
- {5} Formelsamling i reglerteknik (Sigma-Tryck, TLTH)
- Vidare information om detaljer i programpaketet ges i
- {6} I Gustavsson/S Selander/J Wieslander: IDPAC, User's Guide (Report 7331)
  - {7} Programmerarhandbok PDP 15

APPENDICES

- A1. Exempel på utskrifter
- A2. Listning av programhuvuden

### A1. Exempel på utskrifter

Som exempel på programpaketets resultatutskrifter har tagits en utskrift från en simulering av ex 1 med regulatorn STUREM. Simuleringen är exakt den som redovisas i avsnitt IV.2.

För att visa presentationen av ändrad parameter och CONT har följande kommandon getts efter det att alla parametrar fått sina värden:

```
SIMU 500  
ITER 11  
CONT 500  
PRINT 10 50
```

STUREM  
\*\*\*\*\*

DATE: 74-06-18

SIMULATION NUMBER 1

ORDER OF SIMULATED SYSTEM	NORD:	1
TIME DELAY OF SIMULATED SYSTEM	KSYS:	0
A-POLYNOMIAL	APOL:	-0.95000
B-POLYNOMIAL	BPOL:	1.00000
C-POLYNOMIAL	CPOL:	-0.50000
STANDARD DEVIATION OF THE NOISE	DEVIA:	1.00000
ODD INTEGER FOR MCNODI	MACO:	19
REGULATOR: STUREM		
RADIUS OF POLE-ENCLOSING CIRCLE	RO:	1.00000
PENALTY ON CONTROL SIGNAL	O2:	0.00000
TIME DELAY OF MODEL	KREG:	0
INITIAL VALUE OF COVARIANCE MATRIX	PO:	10.00000*I
EXPONENTIAL WEIGHTING FACTOR	RL:	0.99000
TIME DEPENDENCE OF RL	RLEXP:	0.01000
LIMIT ON RESIDUALS	RLIM:	10.00000
MAX NUMBER OF RICCATI ITERATIONS	ITER:	10
NUMBER OF A-PARAMETERS	NA:	1
NUMBER OF B-PARAMETERS	NB:	1
NUMBER OF C-PARAMETERS	NC:	1
INITIAL VALUES OF THE REGULATOR		
A-PARAMETERS	ALPHO:	0.00000
B-PARAMETERS	BETA0:	0.00000
C-PARAMETERS	GAM0:	0.00000
LIMIT ON THE CONTROL SIGNAL	ULIM:	10.00000
CONSTANT YREF	AMPL:	0.00000

	A 1	B 1	C 1	LOSS	U(T)	Y(T)
1	0.00000	0.00000	0.00000	2.7616	0.00000	-1.6618
2	-0.43679	0.00000	0.43679	4.9447	0.00000	-1.4775
3	-0.26391	0.00000	0.26391	5.0070	-10.000	0.24959
4	-0.32626	0.99046	0.19842	112.95	10.000	-10.390
5	-1.3208	0.89759	-0.52427	112.99	-1.4924	0.20342
6	-0.89145	0.96495	-0.12143E-01	114.51	-1.6306	-1.2321
7	-0.84777	1.0126	0.81051E-01	131.61	2.4421	-4.1352
8	-0.72305	1.0087	0.17273	131.70	0.96595	-0.30363
9	-0.74247	0.99399	0.13771	131.86	-0.64633	-0.39242
10	-0.76131	0.98244	0.10717	131.95	0.83062	-0.29876
50	-0.69922	0.87756	0.14910E-01	184.53	-0.26499	-0.88723
100	-0.66436	0.73202	-0.15141	228.07	-0.77180E-01	0.20949



150	-0.59339	0.66290	-0.18885	287.84	-0.59552	-0.27190
200	-0.52961	0.62621	-0.18763	317.43	0.12886	0.63468
250	-0.65338	0.63954	-0.26341	367.45	0.15618	0.16577
300	-0.66591	0.66147	-0.24737	435.95	-0.48550	0.31014
350	-0.61616	0.66539	-0.20743	503.54	-0.36830	1.4853
400	-0.62406	0.68056	-0.19520	572.35	-0.48566	0.78096
450	-0.65364	0.67879	-0.22013	623.33	0.14200	-0.42349E-01
500	-0.62147	0.69407	-0.17663	672.06	-0.61671	0.57764

LAST SAMPLE POINT WHERE THE RICCATI EQUATION DID NOT CONVERGE IN ITER STEPS: 0  
TOTAL NUMBER OF SAMPLE POINTS WHERE THE RICCATI EQUATION DID NOT CONVERGE IN ITER STEPS: 0

MAX NUMBER OF RICCATI ITERATIONS ITER: 11

501	-0.61955	0.69434	-0.17474	672.24	0.44147E-01	-0.42011
502	-0.61957	0.69418	-0.17498	672.25	0.14707	0.98802E-01
503	-0.62013	0.69389	-0.17580	672.40	-0.10459	-0.39393
504	-0.62037	0.69305	-0.17707	672.92	0.20288	0.71566
505	-0.62018	0.69342	-0.17645	673.32	-0.37386	0.63705
506	-0.61652	0.69343	-0.17350	674.15	-0.86876E-01	-0.91158
507	-0.61754	0.68853	-0.18062	679.73	0.39764	2.3625
508	-0.61799	0.68551	-0.18488	680.08	-1.0989	0.58352
509	-0.61118	0.68696	-0.17759	681.07	0.24706	-0.99631
510	-0.61110	0.68690	-0.17760	681.13	0.27664	-0.25153
550	-0.65000	0.68537	-0.21003	719.24	0.88580E-01	-0.53313
600	-0.63655	0.69035	-0.19411	782.60	0.66873	-0.65747
650	-0.65038	0.69342	-0.20100	837.81	-0.11351	-0.48956
700	-0.64111	0.70328	-0.18226	907.42	0.21054	-0.67443
750	-0.63553	0.70525	-0.17583	971.99	0.36680	-1.8334
800	-0.65897	0.68721	-0.21681	1044.5	-0.25462E-01	-1.5273
850	-0.63175	0.68790	-0.19602	1089.9	0.25022	-0.99644E-01
900	-0.61362	0.68547	-0.18544	1158.0	0.12409E-01	-0.38853
950	-0.61866	0.69202	-0.18148	1221.1	0.42073	0.62050
1000	-0.61449	0.69245	-0.17802	1278.5	0.28699	1.0130

LAST SAMPLE POINT WHERE THE RICCATI EQUATION DID NOT CONVERGE IN ITER STEPS: 0  
TOTAL NUMBER OF SAMPLE POINTS WHERE THE RICCATI EQUATION DID NOT CONVERGE IN ITER STEPS: 0

## A2. Listning av programhuvuden

Följande sidor innehåller programhuvuden, hörande till program, som används speciellt i STURE-paketet. För information om övriga program, bl.a. kommandoavkodningsrutinerna, hänvisas till {6} och {7}.

Följande program ingår i listningen:

```
MAIN  
BEGIN  
GUIDE  
SYST  
REG  
NOISE  
YREF  
INIT  
PLOCOM  
PLOT  
ADPRI  
PRINT  
DISP  
TEXT  
SIMU  
SYSTEM  
STURE1  
STURE2  
STURE3  
STUREM  
RTMLE  
ERROR  
SETPAR  
GETIN  
CODE  
DECODE  
NUMER  
EQU
```

MAIN PROGRAM FOR STURE -- PROGRAM PACKAGE,  
SIMULATING SELFTUNING REGULATORS

CONTENTS OF COMMON/PAR/:

NSAMP - NUMBER OF SAMPLE POINTS  
 NORD - ORDER OF THE SYSTEM  
 KSYS - TIME DELAY OF SIMULATED SYSTEM  
 APOL - A-POLYNOMIAL OF THE SYSTEM  
 BPOL - B-POLYNOMIAL OF THE SYSTEM  
 CPOL - C-POLYNOMIAL OF THE SYSTEM  
 IRTYP - TYPE OF THE REGULATOR  
 B0 - PARAMETER BETA0 IN STURE1  
 KREG - TIME DELAY OF THE MODEL  
 KDEL - DELAY OF REGULATOR SIGNAL  
 NA - NUMBER OF A-PARAMETERS  
 NB - NUMBER OF B-PARAMETERS  
 NC - NUMBER OF C-PARAMETERS  
 ALPH0 - INITIAL VALUES OF A-PARAMETERS  
 BETA0 - INITIAL VALUES OF B-PARAMETERS  
 GAM0 - INITIAL VALUES OF C-PARAMETERS  
 R0 - RADIUS OF POLE-ENCLOSING CIRCLE  
 Q2 - PENALTY ON CONTROL SIGNAL  
 P0 - INITIAL VALUE OF THE COVARIANCE MATRIX  
 RL - EXPONENTIAL WEIGHTING FACTOR  
 ULIM - LIMIT ON THE CONTROL SIGNAL  
 IYTP - TYPE OF REFERENCE SIGNAL  
 YAMPL - AMPLITUDE OF REFERENCE SIGNAL  
 IYPER - PERIOD OF REFERENCE SIGNAL  
 DEVIA - STANDARD DEVIATION OF THE NOISE  
 MAC0 - ODD INTEGER FOR MCNODI  
 CHPAR - LOGICAL VECTOR INDICATING CHANGED PARAMETERS  
 ISAVE - VECTOR CONTAINING CODE NUMBERS OF SAVED VARIABLES  
 IDATE - VECTOR CONTAINING THE DATE  
 NSIM - NUMBER OF THE CURRENT SIMULATION  
 RLEXP - TIME DEPENDENCE OF RL  
 RLIM - LIMIT ON THE RESIDUALS  
 ITER - MAX NUMBER OF RICCATI ITERATIONS  
 NRICC - NUMBER OF RICCATI NON-CONVERGENCES  
 LRICC - LAST POINT WITH RICCATI NON-CONVERGENCE

CONTENTS OF COMMON/SIM/: SEE SUBROUTINE SIMU

CONTENTS OF COMMON/COMINF/: SEE SUBROUTINE INTRAC

CONTENTS OF COMMON/MACINF/: SEE SUBROUTINE INTRAC

CONTENTS OF COMMON/RETAB/: SEE SUBROUTINE PLOT

CONTENTS OF COMMON/SYCO/: SEE SUBROUTINE PLOT

AUTHORS: B BENGTSSON/B EGARDT MAY 1974

SUBROUTINES REQUIRED:

INTRAC  
 GETIN  
 CODE  
 SYST  
 REG  
 NOISE  
 BEGIN  
 ERROR  
 SETPAR

C YREF  
C INIT  
C SIMU  
C PLOCOM  
C ADPRI  
C DISP  
C GUIDE  
C TEXT  
C

SUBROUTINE BEGIN

C  
C USED AT START-UP. ASKS FOR DATE AND NUMBER OF FIRST  
C SIMULATION.  
C  
C SUBROUTINES REQUIRED:  
C GETIN  
C SETPAR  
C  
C AUTHORS: B BENGTSSON/B EGARDT MAY 1974  
C

SUBROUTINE GUIDE

C  
C MAKES INITIAL COMMANDS AUTOMATICALLY  
C  
C AUTHORS: B BENGTSSON/B EGARDT MAY 1974  
C  
C SUBROUTINES REQUIRED:  
C SYST  
C REG  
C NOISE  
C YREF  
C INIT  
C

## SUBROUTINE SYST

```

C
C   GETS VALUES OF THE FOLLOWING SYSTEM PARAMETERS:
C
C   NORD (ORDER OF THE SYSTEM)
C   KSYS (TIME DELAY OF THE SYSTEM)
C   APOL (A-POLYNOMIAL)
C   BPOL (B-POLYNOMIAL)
C   CPOL (C-POLYNOMIAL)
C
C   AUTHORS: B BENGTSSON/B EGARDT MAY 1974
C
C   SUBROUTINES REQUIRED:
C       GETIN
C

```

## SUBROUTINE REG

```

C
C   GETS THE FOLLOWING REGULATOR PARAMETERS:
C
C   IRTYP (TYPE OF REGULATOR)
C   KREG (TIME DELAY OF MODEL)
C   KDEL (DELAY OF REGULATOR SIGNAL)
C   NA (NUMBER OF ALPHA PARAMETERS)
C   NB (NUMBER OF BETA PARAMETERS)
C   NC (NUMBER OF GAMMA PARAMETERS)
C   R0 (RADIUS OF CIRCLE ENCLOSING ALL POLES)
C   Q2 (PENALTY ON INPUT SIGNAL)
C   B0 (PARAMETER BETA0 IN STURE1)
C   RLEXP (TIME DEPENDENCE OF RL)
C   RESLIM (LIMIT ON RESIDUALS)
C   ULIM (LIMIT ON THE CONTROL SIGNAL)
C   RL (EXPONENTIAL WEIGHTING FACTOR)
C   P0 (INITIAL VALUE OF THE VARIANCE MATRIX)
C
C   AUTHORS: B BENGTSSON/B EGARDT MAY 1974
C
C   SUBROUTINES REQUIRED:
C       GETIN
C

```

## SUBROUTINE NOISE

```

C
C   GETS THE FOLLOWING PARAMETERS OF THE NOISE:
C
C   MAC0 (ODD INTEGER FOR MCNOD1)
C   DEVIA (STANDARD DEVIATION OF THE NOISE)
C
C   AUTHORS: B BENGTSSON/B EGARDT MAY 1974
C
C   SUBROUTINES REQUIRED:
C       GETIN
C

```

```

SUBROUTINE YREF
C
C   GETS THE FOLLOWING PARAMETERS OF THE REFERENCE SIGNAL:
C
C   IYTYP (TYPE OF REFERENCE)
C   YAMPL (AMPLITUDE)
C   IYPER (PERIOD)
C
C   AUTHORS: B BENGTSSON/ B EGARDT MAY 1974
C
C   SUBROUTINES REQUIRED:
C       GETIN
C
```

```

SUBROUTINE INIT
C
C   GETS THE FOLLOWING INITIAL VALUES OF THE PARAMETER ESTIMATES:
C
C   ALPHA
C   BETA0
C   GAM0
C
C   AUTHORS: B BENGTSSON/B EGARDT MAY 1974
C
C   SUBROUTINES REQUIRED:
C       GETIN
C
```

```

SUBROUTINE DISP
C
C   DISPLAYS THE PARAMETER VALUES
C
C   AUTHORS: B BENGTSSON/B EGARDT MAY 1974
C
C   SUBROUTINES REQUIRED:
C       DECODE
C
```



SUBROUTINE PRINT(N1,N2,NPRINT,GT9LOG,PRILog)

FOR EACH SIMULATION COMMAND THIS SUBROUTINE  
PRINTS THE VALUES OF THE SAVED VARIABLES IN  
THE FIRST N1 POINTS AND THEN IN EVERY N2:TH POINT.

FIRST THE INITIAL PARAMETER VALUES ARE ALL LISTED  
THEN ONLY THOSE PARAMETERS ARE LISTED THAT HAVE BEEN  
CHANGED SINCE THE LAST CONT-COMMAND.

FLAGS HAVE BEEN SET IN CHPAR CORRESPONDING TO CHANGED PARA-  
METERS. THE CODE IN CHPAR:

CHPAR(1)=.TRUE.	-	NORD HAS BEEN CHANGED
2	-	KSYS
3	-	APOL
4	-	BPOL
5	-	CPOL
6	-	DEVIA
7	-	B0
8	-	R0
9	-	Q2
10	-	KREG
11	-	KDEL
12	-	RL
13	-	RLEXP
14	-	RLIM
15	-	ITER
16	-	ULIM
17	-	IYTP,YAMPL,IYPER
18	-	IRTP
19	-	NA
20	-	NB
21	-	NC
22	-	ISAVE
NPRINT	-	NUMBER OF SAMPLE POINTS ALREADY WRITTEN.
GT9LOG	-	RETURNED .TRUE. IF MORE THAN 9 VARIABLES HAVE BEEN SAVED
PRILog	-	.TRUE. IF THE FIRST 9 SAVED VARIABLES HAVE ALREADY BEEN PRINTED

DUM1 AND DUM2 OF COMMON/SLASK/ ARE USED TO TRANSFER DATA  
FROM THE ADMINISTRATING PROGRAM ADPRI TO PRINT. DUM1 AND  
DUM2 COULD BE USED FOR OTHER PURPOSES OUTSIDE ADPRI/PRINT.

AUTHORS: B BENGTSSON/B EGARDT MAY 1974

SUBROUTINES REQUIRED:

FILES  
DECODE



SUBROUTINE PLOCOM(APLOT)

MAKES A COMMAND WHICH SUITS SUBROUTINE PLOT AND CALLS PLOT

COMMAND SHOULD BE OF TYPE:

[A]PLOT [VNAME1 [VNR11,..] [VNAME2 [VNR21..]..] [SC YMIN YMAX]

IF NO VARIABLES ARE TYPED ALL SAVED VARIABLES WILL BE PLOTTED

THE COMMAND APLOT GIVES AUTOMATIC SCALING

THE COMMAND PLOT GIVES USERS SCALING

(THE SCALES ARE GIVEN IN THE COMMAND OR - IF SC YMIN YMAX  
IS OMITTED - BY THE RESERVED VARIABLES YMIN,YMAX.

WHEN THE SCALES ARE GIVEN IN THE COMMAND ONLY THE CURRENT  
PLOT IS AFFECTED)

APLOT - .TRUE. : AUTOMATIC SCALING

.FALSE.: USERS SCALING (LIMITS GIVEN IN COMMAND  
OR BY YMIN,YMAX IN COMMON/RETAB/)

THE PLOT OF U WILL BE OF HISTOGRAM TYPE

AUTHORS: B BENGTSSON/B EGARDT MAY 1974

SUBROUTINES REQUIRED:

FILES

NUMER

GAC

PAC

CODE

PLOT

## SUBROUTINE PLOT

PLOTS CURVES ON DISPLAY FROM DISK RESIDENT FILES

THE RESERVED VARIABLES NPLX, YMAX AND YMIN DETERMINES THE NUMBER OF DATA POINTS TO BE PLOTTED PER PAGE AND THE SCALES TO BE USED. IF BOTH YMIN AND YMAX ARE SET TO ZERO THE PROGRAM WILL CHOOSE THE SCALES. IT IS POSSIBLE TO ADD VALUES FOR YMIN AND YMAX TO THE COMMAND. THESE VALUES WILL ONLY AFFECT THE SCALES ON THE CURRENT PLOT AND WILL NOT CHANGE THE VALUES OF THE RESERVED VARIABLES.

NORMALLY THE CURVES ARE PLOTTED VERSUS SAMPLE NUMBER BUT IF THE COMMAND TIME S/M/H HAS BEEN GIVEN THE CURVES ARE PLOTTED VERSUS TIME (SECONDS, MINUTES OR HOURS).

WHEN MORE THAN ONE CURVE IS PLOTTED THE CURVES ARE MARKED BY SQUARE, OCTAGON, TRIANGLE, PLUS, CROSS, ASTERISK, HORIZ. BAR AND VERT. BAR RESP.

## COMMAND:

PLOT ['HP'] FNAM1[(C11 ..)] [['HP'] FNAM2 ..] [YMIN YMAX] C  
 HP - INDICATES THAT THE FOLLOWING FILE SHALL  
 BE PLOTTED AS A HISTOGRAM  
 YMIN - MINIMUM VALUE FOR THIS PLOT  
 YMAX - MAXIMUM VALUE FOR THIS PLOT  
 WITH YMIN AND YMAX OMITTED THE SCALING IS DETERMINED  
 BY THE RESERVED VARIABLES YMIN AND YMAX.

AUTHOR STAFFAN SELANDER 1972-09-22  
 REVISED STAFFAN SELANDER 1973-06-08  
 REVISED STAFFAN SELANDER 1973-11-01  
 REVISED STAFFAN SELANDER 1974-02-19

## SUBROUTINES REQUIRED:

ARGIN  
 NEWPIC  
 (FILES)  
 (ERASE)  
 (AXIS)  
 (SCALE)  
 (LINE)

```

C
C      SUBROUTINE SIMU(ITYPE,ITIME)
C
C      SIMULATES THE CLOSED LOOP SYSTEM AND STORES THE RESULT IN THE
C      FILE SIMFI. PARAMETER VALUES ARE STORED IN THE FILE CTLG.
C      DEPENDING ON THE COMMAND TWO DIFFERENT TYPES OF SIMULATION
C      CAN BE MADE:
C      SIMU - A NEW SIMULATION IS DEFINED (THE OLD ONE IS NOT STORED)
C      CONT - THE SIMULATION IS CONTINUED WITH OLD VALUES AS START
C              VALUES (INFORMATION ABOUT CHANGED PARAMETER VALUES IN CTLG).
C              SEVERAL CONT COMMANDS ARE PERMITTED. SIMU MUST BE CALLED
C              BEFORE CONT. NO NEW SAVE COMMAND IS PERMITTED BETWEEN
C              SIMU AND CONT COMMANDS.
C      THE FILES ARE ORGANIZED AS FOLLOWS:
C      SIMFI - EVERY ROW CONTAINS VALUES OF THE VARIABLES TO BE SAVED
C              (CODE NUMBERS OF THESE VARIABLES ARE CONTAINED IN THE
C              VECTOR ISAVE, WHERE ISAVE(1)=NUMBER OF SAVED VARIABLES
C              (MAX 15); THE CODE NUMBERS ARE LISTED IN SUBROUTINE CODE)
C      CTLG - THE FIRST ROW CONTAINS THE VALUES OF THE PARAMETERS
C              IN COMMON/PAR/ AT THE TIME FOR SIMU COMMAND.
C              THE SUBSEQUENT ROWS CONTAIN VALUES OF THOSE PARAMETERS,
C              WHICH HAVE BEEN CHANGED SINCE THE LAST SIMU/CONT COMMAND.
C
C      ITYPE - 1: SIMU COMMAND
C              2: CONT COMMAND
C      ITIME - TOTAL NUMBER OF SAMPLE POINTS SINCE THE INITIAL
C              SIMU COMMAND UNTIL THIS SIMULATION (NSAMP IN THIS
C              SIMULATION IS NOT INCLUDED)
C
C      CONTENTS OF COMMON/SIM/:
C
C      U      - VECTOR OF PROCESS INPUTS OF DIMENSION NB+K+1
C              U(1)=U(T)
C              . . . .
C              U(NB+K+1)=U(T-NB-K)
C      Y      - VECTOR OF PROCESS OUTPUTS OF DIMENSION NA+K+1
C              Y(1)=Y(T)
C              . . . .
C              Y(NA+K+1)=Y(T-NA-K)
C      YSC    - VECTOR OF SCALED PROCESS OUTPUTS OF DIMENSION NA+K+1
C              YSC(1)=Y(T)-YREF (STURE1: (Y(T)-YREF)/B0)
C              . . . .
C              YSC(NA+K+1)=Y(T-NA-K)-YREF (STURE1: (Y(T-NA-K)-YREF)/B0)
C      E      - VECTOR OF RESIDUALS OF DIMENSION NC
C              E(1)=E(T)
C              . . . .
C              E(NC)=E(T-NC)
C      TETA   - VECTOR OF ESTIMATED PARAMETERS OF DIMENSION NA+NB+NC
C              TETA(1)=ALPHA(1)
C              . . . .
C              TETA(NA)=ALPHA(NA)
C              TETA(NA+1)=BETA(1)
C              . . . .
C              TETA(NA+NB)=BETA(NB)
C              TETA(NA+NB+1)=GAMMA(1)
C              . . . .
C              TETA(NA+NB+NC)=GAMMA(NC)
C      RYY    - VECTOR OF COVARIANCES OF DIMENSION 11
C              RYY(1)=SUM(Y(T)Y(T)) = LOSS FUNCTION
C              . . . .
C              RYY(11)=SUM(Y(T)Y(T-10))
C      RYU    - VECTOR OF COVARIANCES OF DIMENSION 11
C              RYU(1)=SUM(Y(T)U(T))
C              . . . .

```

```

C      RYU(11)=SUM(Y(T)U(T-10))
C      P      - VARIANCE MATRIX OF THE PARAMETER ESTIMATES
C              OF ORDER (NA+NB+NC)
C      S      - SOLUTION OF THE RICCATI EQUATION
C              OF ORDER MAX(NA,(NB+K),NC)
C      MAC    - ODD INTEGER FOR MCNODI
C      YSUM   - SUM(Y(T))
C      UOLD   - OLD INPUT VALUE (STUREM)
C      YOLD   - OLD OUTPUT VALUE (STUREM)
C      RESOLD - OLD RESIDUAL (STUREM)
C      RLNEW  - TIME DEPENDENT EXPONENTIAL WEIGHTING
C              FACTOR (STUREM)
C      RESID  - VECTOR OF ESTIMATED RESIDUALS (STUREM)
C      X      - STATE VECTOR (STUREM)
C      Z      - STATE VECTOR (STUREM)
C
C      MAXIMUM VALUES:
C      SYSTEM: NORD=5,KREG=10
C      STURE1: NA=6,NB=6,KREG=10
C      STURE2,3,M: NA=6,NB=6,NC=6,NB+KREG=8
C
C      AUTHORS: B BENGTSSON/B EGARDT MAY 1974
C
C      SUBROUTINES REQUIRED:
C          SYSTEM
C          STURE1
C          STURE2
C          STURE3
C          STUREM
C          FILES
C          MOVE
C

```

#### SUBROUTINE SYSTEM

```

C
C      COMPUTES THE OUTPUT FROM THE SYSTEM
C
C      MODEL: Y(T)+A(1)*Y(T-1)+ .....+A(NORD)*Y(T-NORD)=
C      B(1)*U(T-KSYS-1)+ ... +B(NORD)*U(T-KSYS-NORD)+
C      +E(T)+C(1)*E(T-1)+ ... +C(NORD)*E(T-NORD)
C      WHERE (E(J)) IS WHITE NOISE WITH
C      STANDARD DEVIATION DEVIA.
C
C      AUTHORS: B BENGTSSON/B EGARDT MAY 1974
C
C      SUBROUTINES REQUIRED:
C          MOVE
C          SCAPRO
C

```

SUBROUTINE STURE1(RES,DENOM)

SELFTUNING REGULATOR BASED ON LEAST SQUARES IDENTIFICATION  
AND MINIMUM VARIANCE CONTROL.  
THE ALGORITHM IS BASED ON THE MODEL:

$$Y(T+K+1)+A(1)*Y(T-1)+\dots+A(NA)*Y(T-NA)= \\ B0*(U(T)+B(1)*U(T-1)+\dots+B(NB)*U(T-NB))+E(T+K+1) \quad (*)$$

AT EACH STEP THE LEAST SQUARES ESTIMATES OF THE MODEL  
PARAMETERS ARE COMPUTED. THE PROCESS INPUT U(T+1) TO BE  
APPLIED TO THE PROCESS AT TIME T+1 IS THEN COMPUTED FROM

$$U(T+1)=(AE(1)*Y(T)+\dots+AE(NA)*Y(T-NA+1))/B0- \\ -BE(1)*U(T)-\dots-BE(NB)*U(T-NB+1)$$

WHERE AE AND BE ARE THE PARAMETER ESTIMATES.

WHEN APPLYING THE ALGORITHM THE PROCESS OUTPUT IS THUS READ  
AT TIME T. THE PROCESS INPUT U(T+1) TO BE APPLIED AT TIME  
T+1 IS THEN COMPUTED AT THE TIME INTERVALL (T,T+1)

RES-RESIDUAL

DENOM-THE FACTOR  $1+FI*P*PIT$  IN RTLSID

USES DUM7 AND DUM8 (RTLSID) OF COMMON SLASK

AUTHORS: K.J. ASTROM/B. WITTENMARK AUG 71,REV 72.08.02 BW  
REVISED B BENGTSSON/B EGARDT MAY 1974

SUBROUTINES REQUIRED:

RTLSID

SCAPRO

MOVE

SUBROUTINE STURE2(IND)

SELFTUNING REGULATOR BASED ON LEAST SQUARES IDENTIFICATION  
AND MINIMUM VARIANCE CONTROL  
THE ALGORITHM IS BASED ON THE MODEL

$$Y(T)+A(1)*Y(T-1)+\dots+A(NA)*Y(T-NA)= \\ B(1)*U(T-K-1)+\dots+B(NB)*U(T-K-NB) \quad (*)$$

AT EACH STEP THE LEAST SQUARES ESTIMATES OF THE MODEL  
PARAMETERS ARE COMPUTED. THE PROCESS INPUT U(T+1) TO BE  
APPLIED TO THE PROCESS AT TIME T+1 IS THEN COMPUTED  
FROM THE SOLUTION OF THE RICCATI EQUATION WHICH MINIMIZES  
SUM Y(T)\*\*2 UNDER THE CONSTRAINT THAT ALL POLES OF  
THE CLOSED LOOP SYSTEM ARE WITHIN THE CIRCLE WITH RADIUS R0

WHEN APPLYING THE ALGORITHM THE PROCESS OUTPUT IS THUS READ  
AT TIME T. THE PROCESS INPUT U(T+1) TO BE APPLIED AT TIME T+1  
IS THEN COMPUTED AT THE TIME INTERVAL (T,T+1)

IND- 1: THE RICCATI EQUATION HAS NOT CONVERGED AFTER  
ITER STEPS  
-N: CONVERGENCE AFTER N STEPS

USES DUM5-DUM8 OF COMMON /SLASK/

AUTHOR KJ ASTROM 72-01-11 REV 72-07-13 BW  
REV 05-74 BB/BE

SUBROUTINES REQUIRED:

RTLSID  
SCAPRO  
MOVE  
CORI  
NORM

SUBROUTINE STURE3(IND)

SELFTUNING REGULATOR BASED ON LEAST SQUARES IDENTIFICATION  
AND MINIMUM VARIANCE CONTROL  
THE ALGORITHM IS BASED ON THE MODEL

$$Y(T)+A(1)*Y(T-1)+\dots+A(NA)*Y(T-NA)= \\ B(1)*U(T-K-1)+\dots+B(NB)*U(T-K-NB) \quad (*)$$

AT EACH STEP THE LEAST SQUARES ESTIMATES OF THE MODEL  
PARAMETERS ARE COMPUTED. THE PROCESS INPUT U(T) TO BE  
APPLIED TO THE PROCESS AT TIME T IS THEN COMPUTED  
FROM THE SOLUTION OF THE RICCATI EQUATION WHICH MINIMIZES  
SUM Y(T)\*\*2 UNDER THE CONSTRAINT THAT ALL POLES OF  
THE CLOSED LOOP SYSTEM ARE WITHIN THE CIRCLE WITH RADIUS R0

WHEN APPLYING THE ALGORITHM THE PROCESS OUTPUT IS THUS READ  
AT TIME T. THE PROCESS INPUT U(T) TO BE APPLIED AT TIME T  
IS THEN IMMEDIATELY COMPUTED. I.E. THERE IS NO TIME  
DELAY IN THE REGULATOR.

IND- 1: THE RICCATI EQUATION HAS NOT CONVERGED AFTER  
ITER STEPS  
-N: CONVERGENCE AFTER N STEPS

USES DUM5-DUM8 OF COMMON /SLASK/

AUTHOR B WITTENMARK 72-08-02 REV 05-74 B8/BE

SUBROUTINES REQUIRED:

RTLSID  
SCAPRO  
MOVE  
CORI  
NORM

SUBROUTINE STUREM(IND)

SELF-TUNING REGULATOR BASED ON MAXIMUM LIKELIHOOD IDENTIFICATION  
AND MINIMUM VARIANCE CONTROL

THE ALGORITHM IS BASED ON THE MODEL:

$$Y(T)+A(1)*Y(T-1)+\dots+A(NA)*Y(T-NA)=$$

$$B(1)*U(T-KREG-1)+\dots+B(NB)*U(T-KREG-NB)+$$

$$E(T)+C(1)*E(T-1)+\dots+C(NC)*E(T-NC)$$

AT EACH STEP THE MAXIMUM LIKELIHOOD ESTIMATES OF THE  
MODEL PARAMETERS ARE COMPUTED. THE PROCESS INPUT U(T+1)  
TO BE APPLIED TO THE PROCESS AT TIME T+1 IS THEN COMPUTED  
FROM THE SOLUTION OF THE RICCATI EQUATION WHICH MINIMIZES  
SUM Y(T)\*\*2 UNDER THE CONSTRAINT THAT ALL POLES OF THE  
CLOSED LOOP SYSTEM ARE WITHIN THE CIRCLE WITH RADIUS R0.

THE PROCESS OUTPUT IS READ AT TIME T.  
DURING THE TIME INTERVAL (T,T+1) THE PROCESS  
INPUT U(T+1) IS COMPUTED.

IND 1: THE RICCATI EQUATION HAS NOT CONVERGED AFTER ITER STEPS  
-N: COVERAGE AFTER N STEPS

AUTHORS: B BENGTSSON / B EGARDT MAY 1974

USES DUM3 - DUM6 OF COMMON/SLASK/

SUBROUTINES REQUIRED:

RTMLE  
SCAPRO  
MOVE  
CORI  
NORM

SUBROUTINE RTMLE

PERFORMS REAL TIME MAXIMUM LIKELIHOOD ESTIMATION  
THE FOLLOWING MODEL IS USED:

$$A(Q)*Y(T) = B(Q)*U(T)+C(Q)*E(T)$$

USES DUM3 - DUM5 OF COMMON/SLASK/

AUTHORS: B BENGTSSON / B EGARDT MAY 1974

SUBROUTINES REQUIRED:

INPOL  
MOVE  
SCAPRO



## SUBROUTINE ERROR

PRINTS ERROR MESSAGES ON THE TELEPRINTER

IERR - ERROR INDICATOR  
 <0: INTERNAL ERROR  
 0: NO ERROR  
 >0: ERROR FROM INTRAC

AUTHORS: B BENGTSSON/B EGARDT MAY 1974

SUBROUTINES REQUIRED:  
 NONE

## SUBROUTINE SETPAR(ICNT,PNAME,NR,ITYP)

SUBROUTINE TO SET PARAMETER VALUES  
 TESTS IF THE GIVEN VALUE IS ALLOWED  
 AND GIVES ERROR MESSAGES

ICNT - 1: NO COMMAND BEFORE NUMBER  
 2: COMMAND BEFORE NUMBER  
 PNAME - NAME OF THE PARAMETER  
 NR - NUMBER OF THE PARAMETER IN  
 THE FOLLOWING LIST:  
 (NB. THE PARAMETERS 1 - 25  
 CORRESPONDS TO COMMANDS NBR 25 - 50  
 (SEE MAIN PROGRAM))

KSYS	-	1
KREG	-	2
KDEL	-	3
NA	-	4
NB	-	5
NC	-	6
RO	-	7
Q2	-	8
BO	-	9
RL	-	10
RLEXP	-	11
RLIM	-	12
ULIM	-	13
PO	-	14
ITER	-	15
YMIN	-	16
YMAX	-	17
(FREE)	-	18-25
NORD	-	26
IRTYP	-	27
MACO	-	28
DEVIA	-	29
IYTYP	-	30
YAMPL	-	31
IYPER	-	32
NSIM	-	33

ITYP - 1: INTEGER  
 2: REAL

AUTHORS: B BENGTSSON/B EGARDT MAY 1974

SUBROUTINES REQUIRED:  
 GETIN  
 EQU

SUBROUTINE TO GET PARAMETER VALUES  
TESTS THE TYPE OF GIVEN NUMBER AND GIVES ERROR MESSAGES

ICNT - 1: NO COMMAND BEFORE NUMBERS  
2: COMMAND BEFORE NUMBERS  
KIND - 1: INTEGER  
2: REAL  
NBR - NUMBER OF VALUES TO COME  
GET - VECTOR CONTAINING REAL NUMBERS  
IGET - VECTOR CONTAINING INTEGERS  
GOON - RETURNED TRUE IF THE LINE IS EMPTY OR  
COMMAND IS INCORRECT

AUTHORS: B BENGTSSON/B EGARDT MAY 1974

SUBROUTINES REQUIRED:  
INTRAC  
ARGIN

SUBROUTINE CODE(IVNBR,COMSC,YMIN1,YMAX1)

CONVERTS A HOLLERITH STRING OF NAMES OF VARIABLES  
INTO A VECTOR, CONTAINING A LIST OF INTEGERS,  
REPRESENTING THE VARIABLES. THE STRING SHOULD BE  
OF TYPE:

VNAME1 [VNR11..] [VNAME2 [VNR21..]..] [SC YMIN YMAX]  
SC YMIN YMAX - USED ONLY FOR PLOT COMMANDS

THE FOLLOWING CODE IS USED:

A[LPHA] 1	-	1	
...			
A[LPHA] 6	-	6	
B[ETA] 1	-	11	
...			
B[ETA] 6	-	16	
C 1	-	21	
...			
C 6	-	26	('GAMMA' IS EQUIVALENT TO 'C')
LOSS	-	34	
Y	-	35	
U	-	36	
YSUM	-	37	
YREF	-	38	
RYY 1	-	41	
...			
RYY 10	-	50	
RYU 0	-	60	
...			
RYU 10	-	70	
P 1 1	-	101	
...			
P 18 18	-	1818	

IVNBR - VECTOR OF VARIABLE NUMBERS  
(IVNBR(1) - NUMBER OF VARIABLES)

COMSC, YMIN1, YMAX1 ARE USED FOR PLOT COMMAND:

COMSC - RETURNED .TRUE. IF THE COMMAND CONTAINS  
SC YMIN1 YMAX1

YMIN1, YMAX1 - VALUES FOR USERS SCALING IN THIS PLOT

AUTHORS: B BENGTSSON/B EGARDT MAY 1974

SUBROUTINES REQUIRED:  
ARGIN

```
C
C
C      SUBROUTINE DECODE( ISAVE, VNAME, VNR )
C
C      DECODES VARIABLE NAMES FROM CODE NUMBERS IN ISAVE
C      AND LOADS RESULT INTO VNAME (NAME) AND VNR (ELEMENT IN ARRAY).
C      BOTH VNAME AND VNR SHOULD BE WRITTEN IN A-CODE.
C
C      AUTHORS: B BENGTSSON/B EGARDT MAY 1974
C
C      SUBROUTINE REQUIRED:
C          NUMER
C
```

```
C
C
C      SUBROUTINE NUMER(K,D10,D1)
C
C      CONVERTS AN INTEGER < 100 TO TWO FIGURES IN A-CODE.
C
C      K: INTEGER TO BE CONVERTED.
C
C      EXAMPLE: K=53
C              D10=1H5
C              D1 =1H3.
C
C      AUTHORS: B BENGTSSON/B EGARDT MAY 1974
C
C      SUBROUTINES REQUIRED:
C          NONE
C
```

```
C
C
C      SUBROUTINE EQU(VAR1,VAR2)
C
C      USED TO MAKE AN EQUIVALENCE BETWEEN ONE REAL
C      AND TWO INTEGER VARIABLES.
C
C      SUBROUTINES REQUIRED:
C          NONE
C
C      AUTHORS:   B BENGTSSON/B EGARDT   MAY 1974
C
```